

2017

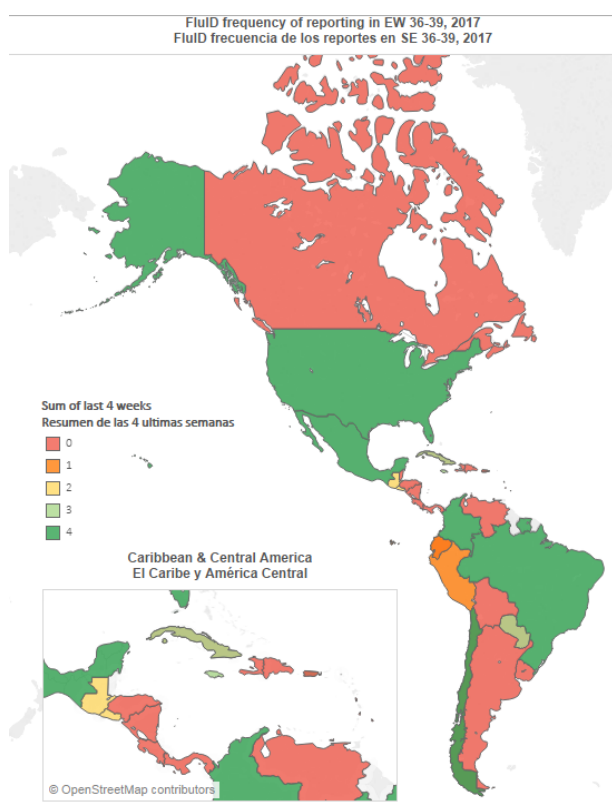
Weekly / Semanal **Influenza Report EW 39/ Reporte de Influenza SE 39**

Regional Update: Influenza & Other Respiratory Viruses /
Actualización Regional: Influenza y Otros virus respiratorios

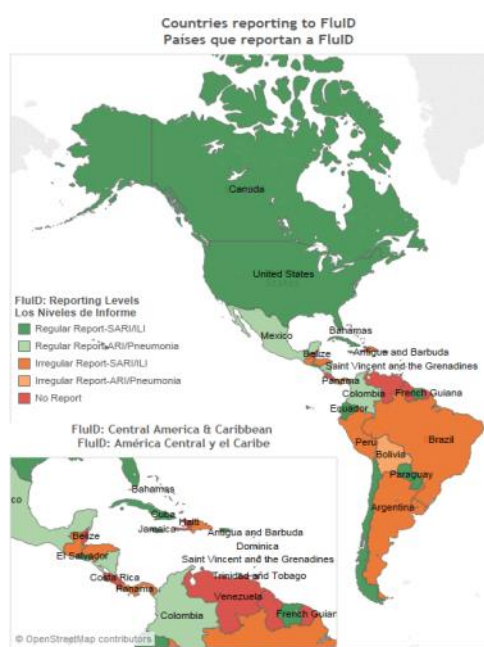
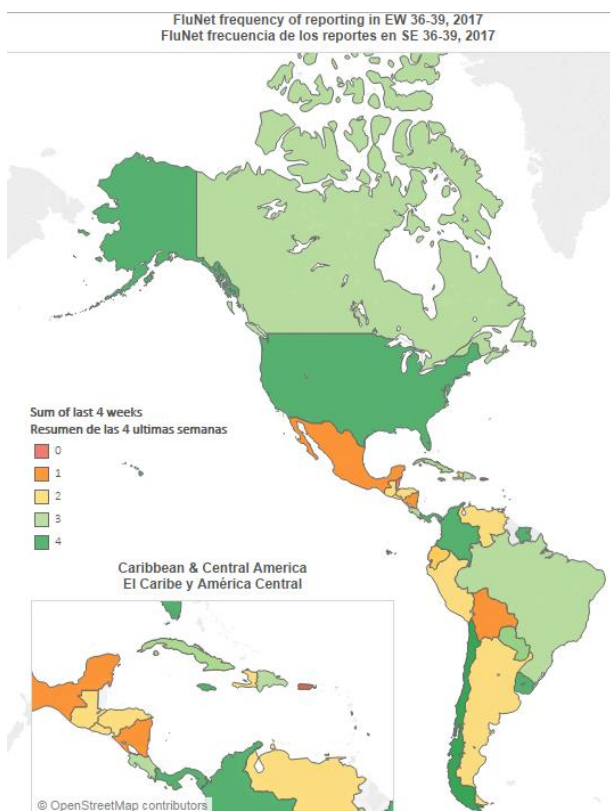


October 11, 2017
11 de Octubre, 2017

FluID



FluNet



Map Production /Producción del mapa: PAHO/WHO, OPS/OMS.

Data Source / Fuente de datos:

Ministries of Health and National Influenza Centers of Member States
Reports to the informatics global platforms FluNet and /
Informe de los Ministerios de Salud y los Centros Nacionales de
Influenza de los Estados Miembros a las plataformas informáticas
globales de FluNet y FluID

[Go to Index/](#)
[Ir al Índice](#)

WEEKLY REPORT DATA SOURCES

The information presented in this update is based on data provided by Ministries of Health and National Influenza Centers of Member States to the informatics global platforms
http://www.who.int/influenza/gisrs_laboratory/flunet/en/
and http://www.who.int/influenza/surveillance_monitoring/fluid/en/ ;
and reports/weekly bulletins that Ministries of Health published on its website or shared with PAHO/WHO.

La información presentada en esta actualización se obtiene a partir de los datos notificados por los Ministerios de Salud y los Centros Nacionales de Influenza de los Estados Miembros a las plataformas informáticas globales de la OPS/OMS: [FluNet](#) y [Fluid](#); y de los informes/boletines semanales que los Ministerios de Salud publican en sus páginas web o comparten con OPS/OMS.

PAHO INFLUENZA LINKS

PAHO interactive data / Datos interactivos de la OPS:

PAHO FluNet: http://ais.paho.org/php/viz/ed_flu.asp

PAHO Fluid: <http://ais.paho.org/php/viz/flumart2015.as>

Influenza Regional Reports / Informes regionales de influenza:

In English: <http://www.paho.org/influenzareport>

En español: www.paho.org/reportesinfluenza

Severe acute respiratory infections network - SARInet
Red de las infecciones respiratorias agudas graves - SARInet:

<http://www.sarinet.org>

REPORT INDEX

ÍNDICE DE LA ACTUALIZACIÓN

Section	Content	Page
1	<u>Weekly Summary / Resumen Semanal</u>	5
2	<u>Overall Influenza and RSV circulation / Circulación general de los virus influenza y VSR</u>	6
3	<u>Weekly and Cumulative numbers / Números semanales y acumulados</u>	7
4	<u>Epidemiological and Virologic update by country / Actualización epidemiológica y virológica por país</u>	8
5	<u>Acronyms / Acrónimos</u>	31

[Go to Index/
Ir al Índice](#)

WEEKLY SUMMARY (ENGLISH)

North America: Overall, influenza and other respiratory virus activity continued at low levels in North America. Influenza A(H3N2) and influenza B co-circulated in the region, but with low detections reported.

Caribbean: Low influenza and other respiratory virus activity were reported throughout most of the sub-region. In [Cuba](#) and [Jamaica](#), SARI activity continued in recent weeks, with increased RSV activity.

Central America: Epidemiological indicators remained at moderate levels and increased influenza and RSV circulation were reported. In [El Salvador](#) and [Costa Rica](#), SARI-associated hospitalizations and RSV activity remained elevated from recent weeks.

Andean Region: Overall influenza and other respiratory virus activity remained low. Moderate RSV activity and SARI-related hospitalizations with co-circulation of influenza A(H3N2) and B continued in [Colombia](#).

Brazil and Southern Cone: Influenza and RSV levels trended downward and at seasonal levels, throughout most of the sub-region. Overall ILI and SARI activity continued to decrease, with co-circulation of influenza B and A(H3N2).

RESUMEN SEMANAL (ESPAÑOL)

América del Norte: En general, la actividad de influenza y de otros virus respiratorios continuó a niveles bajos en América del Norte. Influenza A(H3N2) e influenza B co-circulan en la región, pero con detecciones bajas reportadas.

Caribe: Se ha notificado baja actividad de influenza y otros virus respiratorios en la mayor parte de la sub-región. En [Cuba](#) y [Jamaica](#), la actividad de IRAG continuó en semanas recientes, con mayor circulación de VSR.

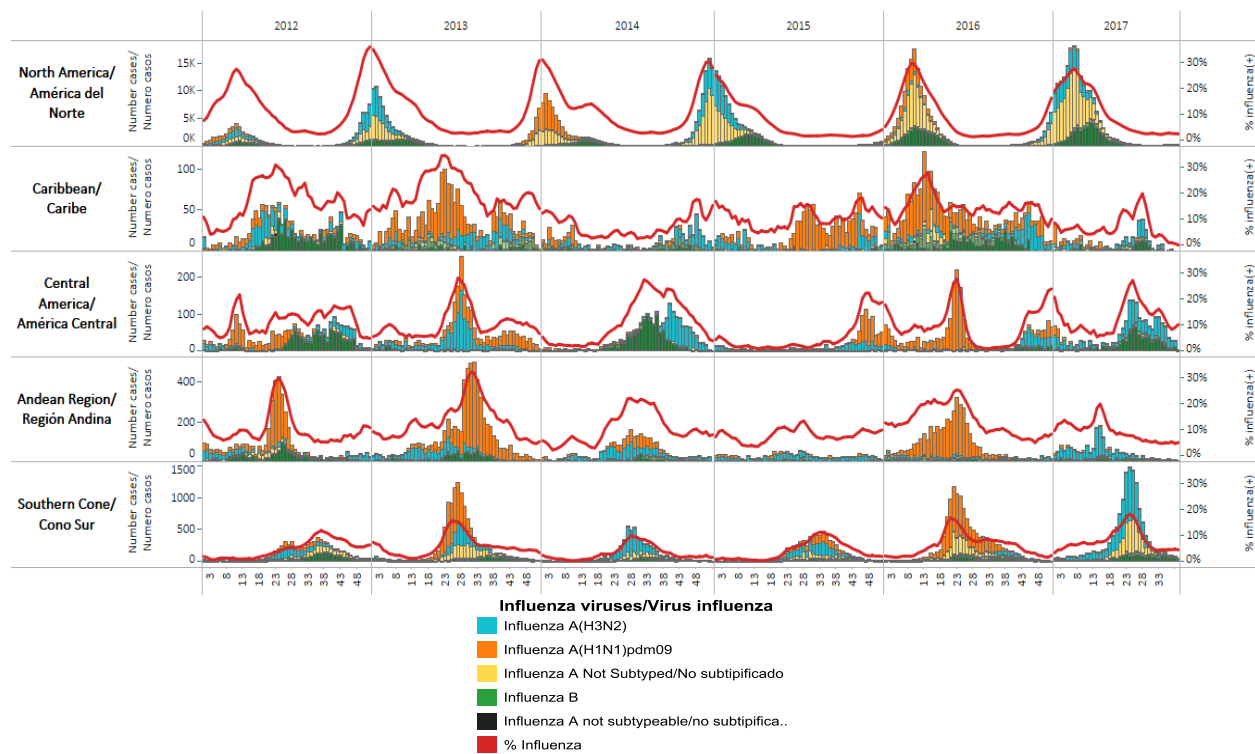
América Central: La mayoría de los indicadores epidemiológicos se mantienen moderados y se ha reportado actividad aumentada de influenza y de VSR. En [El Salvador](#) y [Costa Rica](#), las hospitalizaciones asociadas a IRAG y la actividad de VSR permanecieron elevadas en las ultimas semanas.

Sub-región Andina: En general, la actividad de influenza y otros virus respiratorios permaneció baja. La actividad moderada de VSR y hospitalizaciones asociadas a IRAG con co-circulación de influenza A(H3N2) y B continuaron en [Colombia](#).

Brasil y Cono Sur: Los niveles de influenza y de VSR reflejaron una tendencia al descenso, a niveles estacionales, en toda la sub-región. La actividad de ETI y la actividad de IRAG continúan en descenso, con co-circulación de influenza B y A(H3N2).

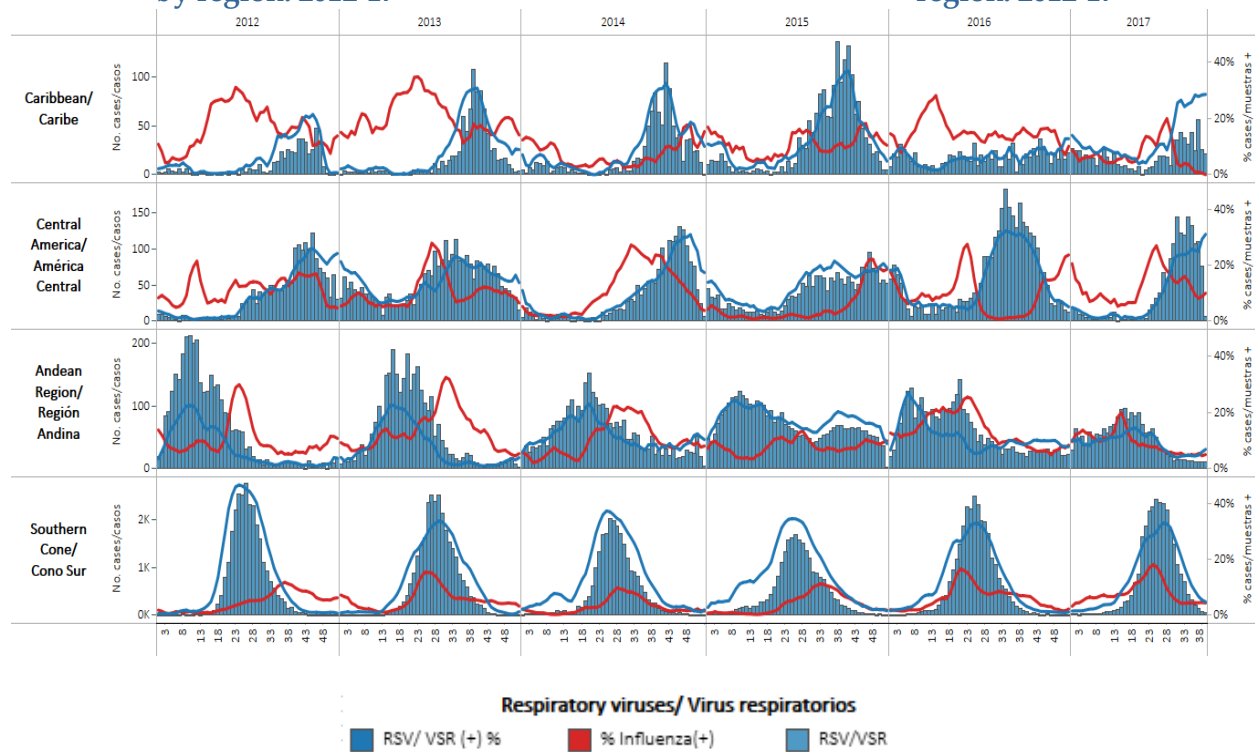
Influenza circulation by region. 2012-17

Circulación virus influenza por región. 2012-17



Respiratory syncytial virus (RSV) circulation by region. 2012-17

Circulación de virus sincicial respiratorio por región. 2012-17



Weekly and cumulative numbers of influenza and other respiratory virus, by country and EW, 2017¹ Números semanales y acumulados de influenza y otros virus respiratorios, por país y SE, 2017²

EW 39, 2017 / SE 39, 2017

		N samples/muestras	Influenza A(H3N2)	Influenza A (H1N1)pdm09	Influenza A No subtipificado	Total Influenza B	Influenza (+) %	Adenovirus	Parainfluenza	RSV/NSR	% RSV/NSR (+)	Bocavirus	Coronavirus	Metapneumovirus	Rinovirus	% All Positive Samples (+)
North America/ América del Norte		Canada	2,658	48	1	20	6	2.8%								2.8%
USA		USA	9,598	54	8	122	56	2.5%								2.5%
Caribbean/ Caribe		Jamaica	11	0	0	0	0	0.0%								0.0%
Suriname		Suriname	3				0	0.0%		1	33%					33.3%
Central America/ A..		Panama	18	1	0	0	1	11.1%	1	0	7	39%		1	5	88.9%
Andean Region/ Región Andina		Colombia	115	5	0	0	1	5.2%	5	4	10	9%	5	3	1	1 30.4%
Ecuador		Ecuador	16				0	0.0%								0.0%
Brazil & Southern Cone/ Brasil y Cono Sur		Brazil_ILI	23	2	0	1		13.0%	2	0	0	0%				39.1%
Chile		Chile	815	1			31	3.9%	22	17	39	5%		45		19.0%
Chile_IRAG		Chile_IRAG	43	0	0	0	3	7.0%	1	1	1	2%	0	0	4	0 23.3%
Paraguay		Paraguay	32	0	0	0	2	6.3%	1	0	1	3%	0	0	1	0 15.6%
Paraguay IRAG		Paraguay IRAG	28	0	0	0	1	3.6%	0	3	1	4%	0	0	1	0 21.4%
Uruguay		Uruguay	18	0	0	0	0	0.0%	2	0	3	17%	0	0	2	0 38.9%
Uruguay IRAG		Uruguay IRAG	17					0.0%	1		3	18%			2	35.3%
Grand Total			13,395	111	9	143	101	2.7%	35	25	66	0%	5	3	57	6 4.2%

EW 38, 2017 / SE 38, 2017

*Note: These countries reported in EW 39, but have provided data up to EW 38.
*Nota: Estos países reportaron en la SE 39, pero han enviado los datos hasta la SE 38.

	N samples/ muestras	Influenza A(H3N2)	Influenza A (H1N1)pdm09	Total Influenza B	Influenza (+) %	Adenovirus	Parainfluenza	RSV/NSR	% RSV/NSR (+)	Bocavirus	Coronavirus	Metapneu..	Rinovirus	% All Positive Samples (+)	
Brazil & Southern C.. Argentina	517	0	0	0	6	1.2%	10	51	18	3%			34		23.0%
Grand Total	517	0	0	0	6	1.2%	10	51	18	3%			34		23.0%

Cumulative, EW 36-39, 2017 / Acumulado, SE 36-39, 2017

	N samples/ muestras	Influenza A(H3N2)	Influenza A (H1N1)pdm09	Influenza A No subtipificado	Total Influenza B	Influenza (+) %	Adenovirus	Parainfluenza	RSV/NSR	% RSV/NSR (+)	Bocavirus	Coronavirus	Metapneumovirus	Rinovirus	% All Positive Samples (+)
North American América del Norte	Canada	8,923	121	18	51	18	2.3%								2.3%
Mexico	Mexico	535	14	1	0	7	4.1%	0	0	0	0%	0	0	0	4.3%
USA	USA	42,903	319	28	473	290	2.6%								2.6%
Cuba	Cuba	148	0	0	0	0	0.0%	0	0	50	34%	0	0	0	45.5%
Cuba IRAG	Cuba IRAG	182	0	0	0	0	0.0%	0	0	63	35%	0	0	0	48.4%
Dominican Republic	Dominican Republic	46					0.0%	1		10	22%			6	37.0%
Jamaica	Jamaica	59	0	0	0	1	1.7%								1.7%
Suriname	Suriname	19	3			0	15.8%		4	21%					36.8%
Costa Rica	Costa Rica	202	18	0	0	10	13.9%	25	2	77	38%				65.5%
El Salvador	El Salvador	140	0	0	0	2	1.4%	1	5	52	37%				42.9%
Guatemala	Guatemala	37	0	0	1	0	2.7%	1	0	10	27%	0	0	5	45.5%
Honduras	Honduras	65	0	0	0	0	0.0%	0	1	18	28%				29.2%
Nicaragua	Nicaragua	400	38			15	13.3%	9	22	6%		10			24.0%
Panama	Panama	343	11	0	0	2	3.8%	11	9	121	35%	47		64	77.3%
Bolivia	Bolivia	29				1	3.4%								3.4%
Colombia	Colombia	526	22	0	0	4	4.9%	21	16	41	8%	23	14	5	29.5%
Ecuador	Ecuador	114				1	0.9%		3						3.5%
Ecuador IRAG	Ecuador IRAG	29	0	0	0	0	0.0%	0	0	0	0%			0	0.0%
Peru	Peru	81	3	0	0	0	3.7%	0	1	0	0%	0	0	3	13.6%
Venezuela	Venezuela	20	3	0	0	8	55.0%	0	0	0	0%	0	0	0	55.0%
Argentina	Argentina	2,250	0	0	9	41	2.2%	60	212	154	7%			122	26.6%
Brazil_ILI	Brazil_ILI	609	13	0	2		15.3%	25	23	3	0%				33.2%
Chile	Chile	3,404	9		11	126	4.3%	69	67	250	7%		191		21.2%
Chile_IRAG	Chile_IRAG	229	0	0	1	12	5.7%	3	5	30	13%	0	0	22	4 33.6%
Paraguay	Paraguay	288	0	0	0	8	2.8%	3	7	2	1%	0	0	8	0 9.7%
Paraguay IRAG	Paraguay IRAG	305	0	0	0	5	1.6%	1	11	2	1%	0	0	7	0 8.5%
Uruguay	Uruguay	89	1	0	0	0	0.1%	3	4	23	26%	0	0	5	0 40.4%
Uruguay ETI	Uruguay ETI	3					0.0%	1							33.3%
Uruguay IRAG	Uruguay IRAG	86	1				1.2%	2	4	23	27%			5	40.7%
Grand Total		62,064	576	47	548	551	2.9%	227	379	955	2%	23	14	436	107 6.5%

Total Influenza B, EW 29-39, 2017

	Total Influenza B	B Victoria	B Yamagata	B linaje no determinado	% B Victoria	% B Yamagata
North America/ América del Norte	763	8	109	646	6.8%	93.2%
Caribbean/ Caribe	28	8	1	19	88.9%	11.1%
Central America/ América Central	273	35	12	226	74.5%	25.5%
Andean Region/ Región Andina	47	5	15	27	25.0%	75.0%
Brazil & Southern Cone/ Brasil y Cono Sur	771	36	336	659	9.7%	90.3%
Grand Total	1,882	92	473	1,577	16.3%	83.7%

1 The detection of respiratory viruses other than influenza depends on the diagnostic capacity of each country and monitoring system. The absence of report of other respiratory viruses does not indicate the absence of their circulation.

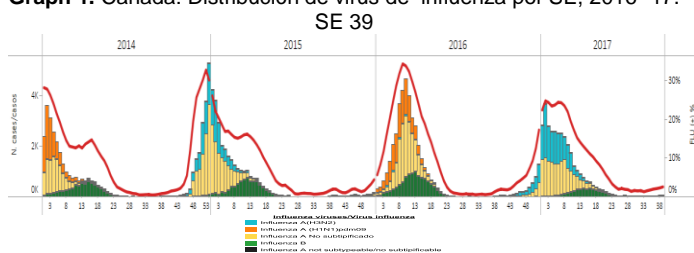
2 La detección de otros virus respiratorios diferentes a influenza depende de la capacidad diagnóstica de cada país y del sistema de vigilancia establecido. El que no se reporten otros virus respiratorios, no significa, ni indica la ausencia de circulación viral.

North America / América del Norte:

Canada

- Graph 1.** During EW 39, influenza activity remained at low levels as compared to the previous week, with an influenza percent positivity of 2.3%; influenza A(H3N2) and B co-circulated in recent weeks. / Durante la SE 39, la actividad de influenza permaneció a niveles bajos en relación a la semana previa con un porcentaje de positividad de influenza de 2.3%; con predominio de influenza B en las últimas semanas
- Graph 2.** During EW 38, sentinel sites reported slightly increased percentage of ILI visits. 1.2% of visits to healthcare professionals were due to influenza like-illness. / Durante la SE 38, los sitios centinela han reportado ligero aumento del porcentaje de consultas por ETI. 1,2% de las consultas a profesionales de la salud se asociaron a enfermedad tipo influenza.
- Graph 3.** During EW 37 – EW 38, influenza or influenza-like illness activity levels remained at low levels and the majority of regions reported no activity. In EW 38, two regions in British Columbia reported localized activity, and 13 regions in British Columbia (1), Alberta (3), Saskatchewan (1), Ontario (3), Quebec (4) and Northeast Territories (1) reported sporadic activity. Consistent with the increased number of influenza detections this season, a greater number of regions are reporting sporadic activity compared to previous seasons. / Durante las SE 37 – SE 38, los niveles de actividad de influenza o enfermedad tipo influenza permanecieron a niveles bajos y la mayoría de las regiones se reportaron sin actividad. En SE 38, dos regiones en Columbia Británica reportaron actividad localizada, y 13 regiones en Columbia Británica (1), Alberta (3), Saskatchewan (1), Ontario (3), Quebec (4) y Territorios del Norte (1) reportaron actividad esporádica. Consistente con el aumento del número de detecciones de influenza en esta temporada, un mayor número de regiones están reportando actividad esporádica en comparación con temporadas anteriores
- Graph 4.** During EW 38, among influenza cases with reported age and type/subtype information, the majority of cases have been reported in adults aged 45-64 years of age (28%) and 65 years and older (43%). / Durante la SE 38, entre los casos de influenza con datos sobre edad y tipo/subtipo reportados, la mayoría de los casos fueron reportados en adultos entre 45-64 años (28%) y de 65 años y mayores (43%).
- Graph 5.** During EW 37 – EW 38, two laboratory-confirmed influenza outbreaks were reported in long-term care facilities. / Durante de SE 37 – SE 38, se reportaron dos brotes de influenza confirmados por laboratorio en instituciones de cuidados de largo plazo.
- From EW 35 to EW 38, less than 5 laboratory-confirmed influenza-associated pediatric (<16 years of age) hospitalizations were reported. / Desde la SE 35 a SE 38, se han reportado menos de 5 muertes pediátricas (<16 años de edad) asociadas con influenza confirmadas por laboratorio.

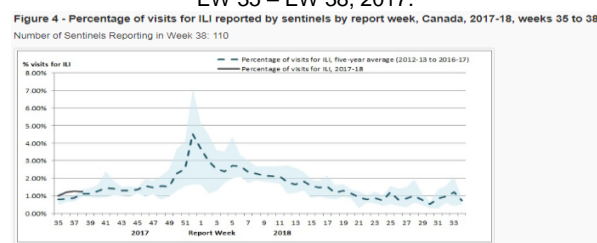
Graph 1. Canada: Distribución de virus de influenza por SE, 2016 -17.



Graph 3. Canada: Influenza /ILI activity level by province and territory, Canada, EW 38, 2017.



Graph 2. Canada: Porcentaje de casos de ETI por sitio centinela , EW 35 – EW 38, 2017.

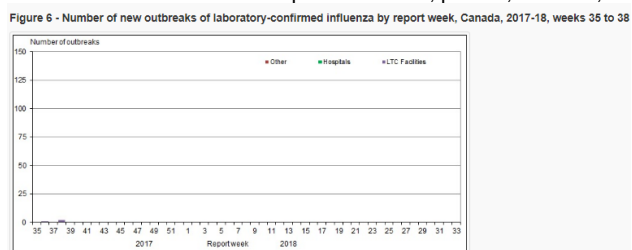


Graph 4. Canada: Número de hospitalizaciones, admisiones de UCI, y fallecidos por edad y tipo de influenza, 2016-17. SE 35-38

Table 1 - Cumulative numbers of positive influenza specimens by type, subtype and age-group reported through case-based laboratory reporting, Canada, 2017-18, weeks 35 to 38

Age groups (years)	Cumulative (August 27, 2017 to September 23, 2017)				Total	#	%
	Influenza A						
	A Total	A(H1) pdm09	A(H3)	A (UnS) $\frac{1}{2}$	Total	#	%
0-4	6	<5	<5	0	<5	>6	7%
5-19	<5	<5	0	0	<5	5	4%
20-44	21	<5	14	<5	<5	>21	18%
45-64	31	9	11	11	<5	>33	28%
65+	49	<5	40	7	<5	>49	43%
Total	>107	21	>65	21	11	>118	100%

Graph 5. Canada: Number of laboratory-confirmed influenza outbreaks by EW, 2017-2018, EW 35 - EW 38.
Número de brotes de influenza confirmados por laboratorio, por SE, 2016-17, EW 35 – EW 38.

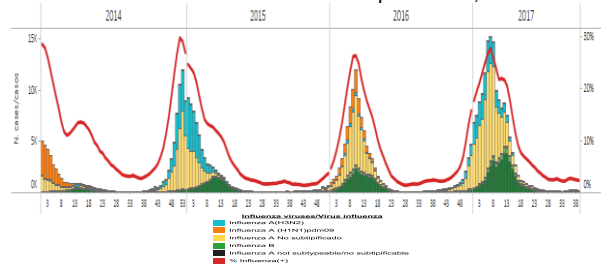


United States

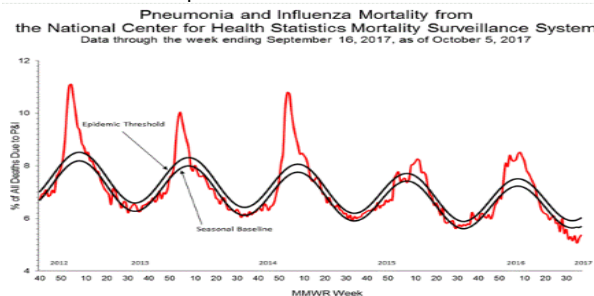
- **Graph 1.** During EW 39, influenza activity slightly increased (2.6% of samples tested were positive for influenza) with influenza A predominating. / Durante la SE 39, la actividad de influenza aumentó ligeramente (2.6% de todas las muestras fueron positivas para influenza) con predominio de influenza A.
- **Graph 2.** In EW 39, RSV positivity (10%) slightly increased while adenovirus positivity and parainfluenza positivity remained at low levels as compared to the previous weeks. / En la SE 39, la positividad de VSR (10%) aumentó ligeramente mientras que la positividad de adenovirus y la positividad de parainfluenza permanecieron a niveles bajos en comparación a lo observado en las semanas previas.
- **Graph 3,4.** During EW 37, pneumonia and influenza mortality slightly increased as compared the prior week (5.4%) but was below the epidemic threshold (6.0%) for EW 37. During EW 39, one influenza-associated pediatric death was reported. A total of 107 influenza-associated pediatric deaths were reported during the 2016-2017 season./ Durante la SE 37, la tasa de mortalidad por neumonía e influenza aumentó ligeramente en comparación a la semana previa (5,4%) aunque estuvieron por debajo del umbral epidémico (6,0%) para la SE 37. Durante la SE 39, se notificó una muerte pediátrica asociada a influenza. Un total de 107 muertes pediátricas asociadas a influenza fueron notificadas durante la temporada 2016-2017.
- **Graph 5.** During EW 39, national ILI activity continued at low levels (1.2% of visits) and was below the national baseline of 2.2%. All ten regions reported a proportion of ILI visits below their region-specific baseline levels. / Durante la SE 39, la actividad nacional de ETI continuó en niveles bajos (1,2% de las consultas) y se ubicó por debajo de la línea de base nacional de 2,2%. Todas las diez regiones notificaron una proporción de consultas por ETI por debajo de sus líneas de base regionales.
- In EW 30, an outbreak of influenza A(H3N2)v variant virus infections was reported in Maryland, with decreased number of cases during EW 39 and additional 8 human infections. In addition, Michigan reported one influenza A(H3N2)v variant virus case, unrelated to the ongoing investigation in Maryland. Six cases were confirmed as H3N2v viruses; the remaining 3 tested presumptive positive for H3N2v virus and required further characterization. All 9 patients reported exposure to swine at one of two agricultural fairs during the week preceding illness onset. Swine influenza A(H3N2) viruses were identified from respiratory samples collected from pigs at one of the fairs. Eight cases were children <18 years of age and one patient was an adult aged >50 years. One case required hospitalization, while all other cases fully recovered. No human-to-human transmission has been identified. During the 2016-2017 season, a total of 61 variant virus infections have been reported in the U.S.; 56 of these were H3N2v viruses from Delaware (1), Maryland (36), Michigan (1), North Dakota (1), Ohio (15), Pennsylvania (1), and Texas (1); two were influenza A (H1N2)v variant viruses from Ohio. An additional three viruses from Maryland have tested presumptive positive for H3N2v and required further analysis.^[1] / Durante la SE 30, un brote de infecciones por virus influenza A(H3N2)v variante fue reportado en Maryland , con disminución del número de casos durante la SE 39 y 8 infecciones adicionales en humanos. Así mismo, Michigan reportó un caso de virus influenza A(H3N2)v variante, no relacionado con la actual investigación en Maryland. Seis casos fueron confirmados como virus H3N2v; los restantes 3 virus resultaron presuntamente positivos para H3N2v y requieren mayores caracterizaciones. Todos los 9 pacientes reportaron exposición a cerdos en una de las dos exposiciones rurales la semana anterior al inicio de síntomas. Se identificó virus influenza A(H3N2) porcina de muestras recolectadas en cerdos en una de las dos exposiciones. Ocho casos fueron niños < de 18 años y un caso resultó un adulto > 50 años. Un caso requirió hospitalización, en tanto los restantes han evolucionado favorablemente. No se identificó transmisión de humano a humano. Durante la temporada 2016-2017, un total de 61 infecciones por virus variante fue confirmada en EE.UU.; 56 de ellos fueron virus H3N2v de Delaware (1), Maryland (36), Michigan (1), Dakota del Norte (1), Ohio (15), Pennsylvania (1) y Texas (1); dos fueron virus influenza A(H1N2)v variante de Ohio. Tres casos adicionales de Maryland han resultado presuntamente positivos para H3N2v y requieren la realización de nuevos análisis.

^[1] CDC (2017) Weekly U.S. Influenza Surveillance Report . Available at: <https://www.cdc.gov/flu/weekly/>

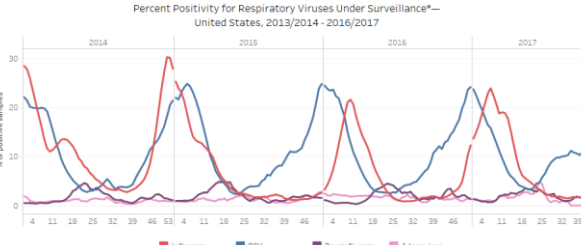
Graph 1. US: Influenza virus distribution by EW 39, 2016-17
Distribución de virus de influenza por SE 39, 2016-17



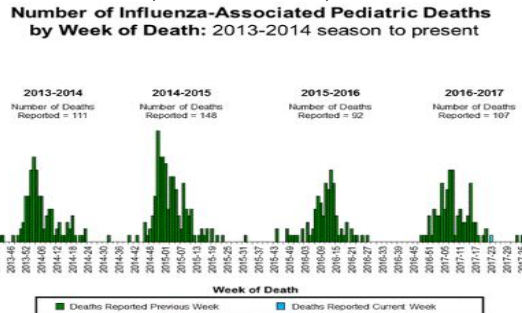
Graph 3. US: Pneumonia and influenza mortality. EW 37
Mortalidad por neumonía e influenza. SE 37



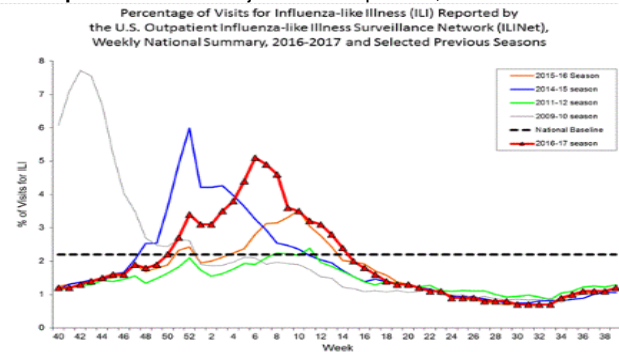
Graph 2. US: Percent positivity for respiratory virus EW 39
Porcentaje de positividad para virus respiratorios, por SE 39, 2013/14-2016/17



Graph 4. US: Numero de fallecidos pediátricos asociados a influenza, 2013/14-2016/17, SE 39



Graph 5. US: Porcentaje de visitas por ETI, 2016-2017. SE 39.

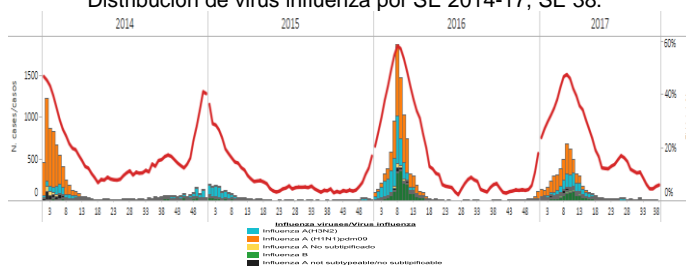


México

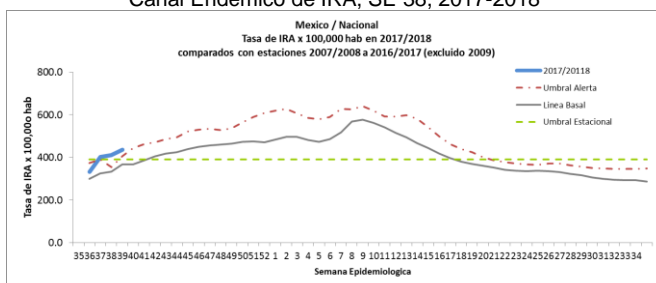
- Graph 1.** Influenza activity slightly increased in EW 38 from levels observed in previous weeks (influenza positivity increased slightly to 8%) with influenza A(H3N2) predominating. / La actividad de influenza aumentó en la SE 38 de los niveles observados en semanas previas (la positividad de influenza aumentó ligeramente a 8%) con predominio de influenza A(H3N2).
- Graph 2.** No RSV detections were reported in EW 38. During EW 38, influenza positivity (8%) was slightly higher as compared to the previous season. / No se notificaron detecciones de VSR en la SE 38. Durante la SE 38, la positividad de influenza (8%) fue ligeramente mayor a lo observado en la temporada previa.
- Graph 3.** During EW 38, the ARI rate slightly increased from levels observed in previous weeks (~450 ARI cases per 100,000 inhabitants) and was above the alert threshold. / Durante la SE 38, la tasa de IRA aumentó ligeramente de los niveles observados en semanas previas (~450 casos por 100.000 habitantes) y se ubicó sobre el umbral de alerta.
- Graph 4.** During EW 38, at the national-level, pneumonia activity increased from the previous week, and remained below the seasonal threshold (2 per 100,000). / Durante la SE 38, a nivel nacional, la actividad de neumonía aumentó en relación a los niveles de la semana previa, por debajo del umbral estacional (2 por 100.000).
- Graph 5,6.** In EW 40, no influenza-positive SARI/ILI cases were reported. From EW 40 2016 to EW 39 2017, 399 influenza-positive SARI/ILI cases were reported and activity levels were similar to the previous seasons, for the same period. / En la SE 40, no se reportaron casos de ETI/IRAG positivos para influenza. Desde la SE40 de 2016 hasta la SE 39 de 2017, se reportaron 399 casos de IRAG/ETI positivos para influenza y los niveles de actividad fueron similares a las temporadas anteriores, para el mismo período.
- Graph 7.** During EW 40, no state reported influenza positive SARI/ILI cases. / Durante la SE 40, ningún estado reportó casos de IRAG/ETI positivos para influenza.

- Graph 8.** During EW 40, no influenza-related SARI deaths were reported. From EW 40, 2016 to EW 39, 2017, 14 cumulative influenza-related SARI deaths were reported; activity levels were similar to the previous week and the previous seasons for the same period. / Durante la SE 40 de 2016 a la SE 39 de 2017, se notificaron 14 muertes acumuladas por IRAG asociadas a influenza; los niveles de actividad fueron similares en relación a la semana previa y a temporadas previas para el mismo período.
- Cumulative SARI cases:** During EW 40, 24 states reported higher cumulative SARI cases in the 2017-2018 season than during the 2016-2017 season: Aguascalientes (4), Baja California Sur (4), Campeche (7), Chihuahua (4), Coahuila (5), Colima (5), Distrito Federal (3), Durango (1), Guerrero (7), Hidalgo (3), Jalisco (12), México (13), Michoacán (2), Morelos (1), Nayarit (2), Nuevo León (3), Oaxaca (4), Puebla (1), Querétaro (4), Quintana Roo (7), Sinaloa (1), Sonora (2), Veracruz (6) and Zacatecas (10). / Casos acumulados de IRAG: Durante la SE 40, 24 estados reportaron un número mayor de casos de IRAG en la temporada 2017-2018 que durante la temporada 2016-2017: Aguascalientes (4), Baja California Sur (4), Campeche (7), Chihuahua (4), Coahuila (5), Colima (5), Distrito Federal (3), Durango (1), Guerrero (7), Hidalgo (3), Jalisco (12), México (13), Michoacán (2), Morelos (1), Nayarit (2), Nuevo León (3), Oaxaca (4), Puebla (1), Querétaro (4), Quintana Roo (7), Sinaloa (1), Sonora (2), Veracruz (6) y Zacatecas (10).

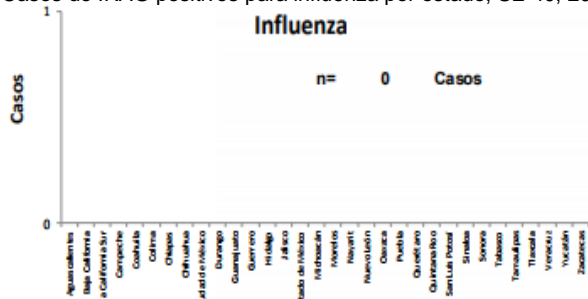
Graph 1. Mexico: Influenza virus distribution by EW 2014-17, EW 38.
Distribución de virus influenza por SE 2014-17, SE 38.



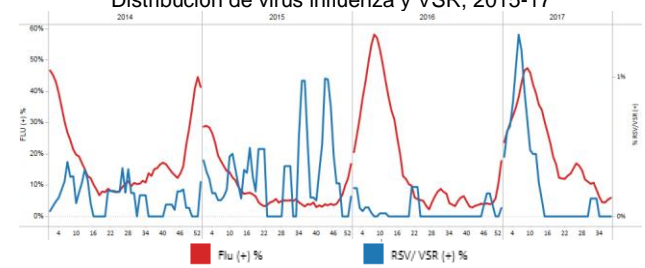
Graph 3. Mexico: ARI Endemic Channel, EW 38, 2017-2018
Canal Endémico de IRA, SE 38, 2017-2018



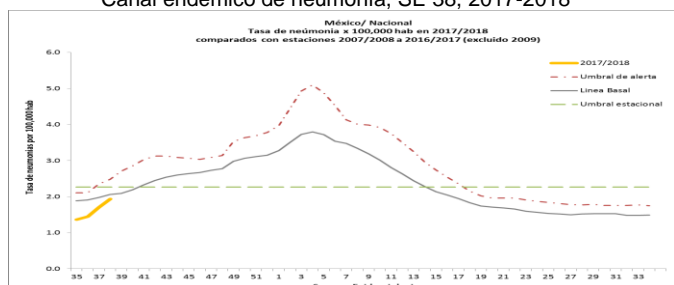
Graph 5. Mexico: SARI-flu cases by state, EW 40, 2017
Casos de IRAG positivos para influenza por estado, SE 40, 2017



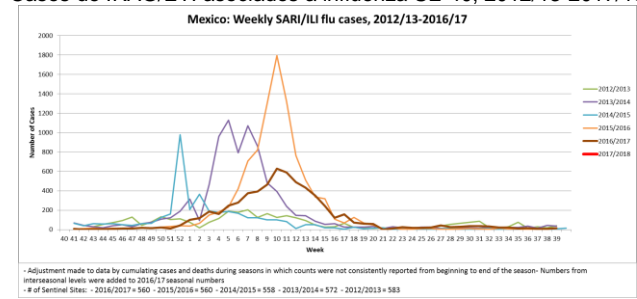
Graph 2. Mexico: Influenza and RSV distribution, 2015-17
Distribución de virus influenza y VSR, 2015-17



Graph 4. Mexico: Pneumonia Endemic Channel, EW 38, 2017-2018.
Canal endémico de neumonía, SE 38, 2017-2018



Graph 6. Mexico: SARI/ILI-flu cases EW 40, 2012/13-2017/18
Casos de IRAG/ETI asociados a influenza SE 40, 2012/13-2017/18



Graph 7. Mexico: Flu cases and deaths by state. EW 40, 2017-2018
Proporción de casos positivos y defunciones por influenza según estado. SE 40, 2017-2018

Tabla 4. Proporción de casos positivos y defunciones por influenza según entidad federativa. México, Temporada de influenza 2017-2018									
Entidad Federativa	Casos ET/IRAG	Casos positivos a influenza	%*	Defunciones por influenza	Entidad Federativa	Casos ET/IRAG	Casos positivos a influenza	%*	Defunciones por influenza
AGUASCALIENTES	11	0	0.0	0	MORELOS	3	0	0.0	0
BAJACALIFORNIA	0	0	-	0	NAYARIT	2	0	0.0	0
BAJACALIFORNIASUR	4	0	0.0	0	NEUVO LEÓN	6	0	0.0	0
CAMPECHE	8	0	0.0	0	OAXACA	5	0	0.0	0
COAHUILA	5	0	0.0	0	PUEBLA	6	0	0.0	0
COLIMA	5	0	0.0	0	QUERÉTARO	6	0	0.0	0
CHIAPAS	2	0	0.0	0	QUINTANAROO	9	0	0.0	0
CHIHUAHUA	5	0	0.0	0	SAN LUIS POTOSÍ	1	0	0.0	0
Ciudad de México	16	0	0.0	0	SINALOA	1	0	0.0	0
DURANGO	2	0	0.0	0	SONORA	2	0	0.0	0
GUANAJUATO	0	0	-	0	TABASCO	3	0	0.0	0
GUERRERO	9	0	0.0	0	TAMAULIPAS	1	0	0.0	0
HIDALGO	11	0	0.0	0	TLAXCALA	1	0	0.0	0
JALISCO	13	0	0.0	0	VERACRUZ	13	0	0.0	0
ESTADO DE MÉXICO	19	0	0.0	0	YUCATÁN	3	0	0.0	0
MICHOACÁN	5	0	0.0	0	ZACATECAS	16	0	0.0	0
		Total general	193	0	0.0	0			

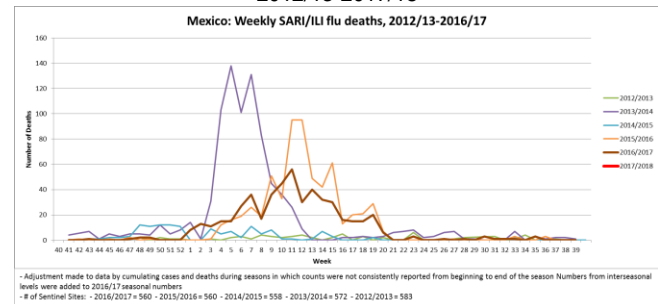
*% de casos positivos a influenza respecto a los casos ET/IRAG

Fuente: SINAVE/DGE/Sistema de Vigilancia Epidemiológica de Influenza, acceso al 5/10/2017.

*% de casos positivos a influenza respecto a los casos de ET/IRAG / % influenza-positive cases among ILI/SARI

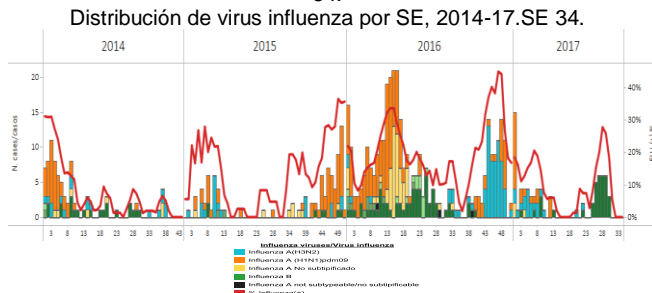
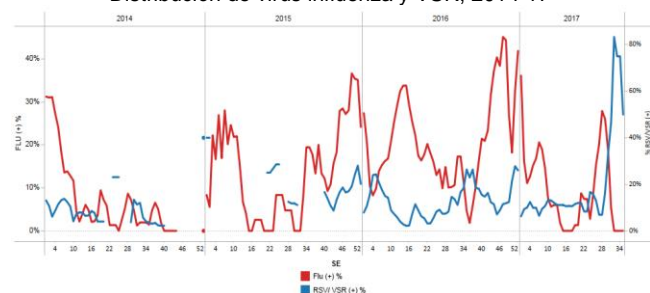
○ >10% de casos positivos. / >10% positivity
○ > 15% de casos positivos / >15% positivity

Graph 8. Mexico: SARI/ILI-flu deaths EW 40, 2012/13- 2017/18
Casos fallecidos por IRAG/ETI asociados a Influenza SE 40, 2012/13-2017/18



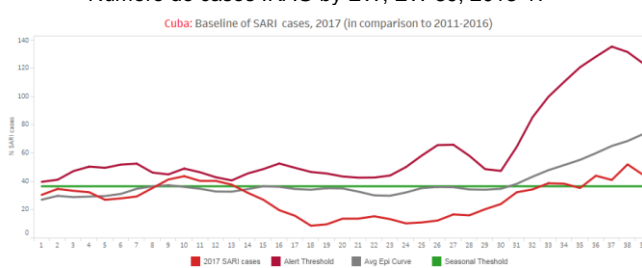
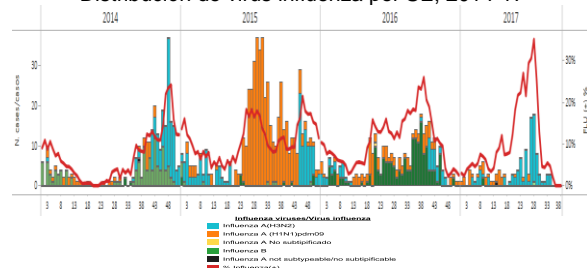
CARPHA

- Graph 1.** During EW 34, few influenza detections were reported, with influenza B predominating in recent weeks. / Durante la SE 34, se reportaron escasas detecciones de influenza, con predominio de influenza B en semanas previas.
- Graph 2.** During EW 34, the proportion of influenza positive samples decreased to less than 1%, while the proportion of RSV samples increased from previous weeks. Influenza and RSV proportion were higher as compared to levels observed during the 2015-2016 season for the same period. / Durante la SE 34, la proporción de muestras positivas para influenza disminuyó a menos de 1%, mientras que la proporción de muestras de VSR aumentó respecto a las semanas previas. La proporción de influenza y VSR fueron superiores en relación a los niveles observados durante la temporada 2015-2016 para el mismo período.
- Countries that reported during EW 25 and 33 include: Barbados and Trinidad and Tobago. / Los países que reportaron entre la SE 25 y SE 33 incluyen: Barbados y Trinidad y Tobago.

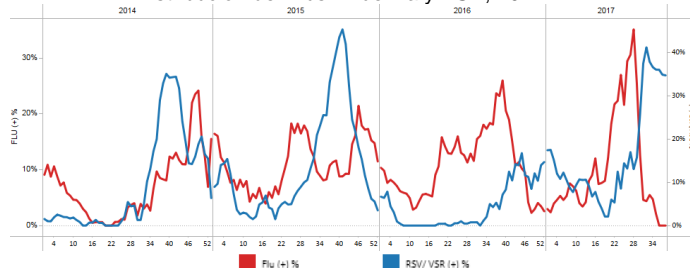
Graph 1. CARPHA. Influenza virus distribution EW, 2014-17. EW 34.**Graph 2.** CARPHA. Influenza and RSV distribution, 2014-17. Distribución de virus influenza y VSR, 2014-17

Cuba

- Graph 1.** During EW 39, the number of SARI cases slightly decreased, as compared to the prior week, and was below the average epidemic curve for the same period. / Durante la SE 39, el número de casos de IRAG disminuyó ligeramente, en relación a la semana previa, y se ubicó debajo de la curva epidémica promedio para el mismo período.
- Graph 2.** During EW 38, influenza detections slightly decreased from the prior week. Influenza A(H3N2) predominated in recent weeks. / Durante la SE 38, las detecciones de influenza disminuyeron respecto a la semana previa. En semanas recientes, predominó influenza A(H3N2).
- Graph 3.** During EW 38, the proportion of influenza positive samples decreased while the proportion of RSV samples slightly decreased (36%) from previous weeks. RSV proportion was higher as compared to levels observed during the 2015-2016 season for the same period. / Durante la SE 38, la proporción de muestras positivas para influenza disminuyó mientras que la proporción de muestras de VSR disminuyó ligeramente (36%) respecto a las semanas previas. La proporción de VSR fue superior en relación a los niveles observados durante la temporada 2015-2016 para el mismo período.

Graph 1. Cuba: Number of SARI cases by EW, EW 39, 2013-17. Número de casos IRAG por EW, EW 39, 2013-17**Graph 2.** Cuba: Influenza virus distribution by EW, 2014-17. Distribución de virus influenza por SE, 2014-17

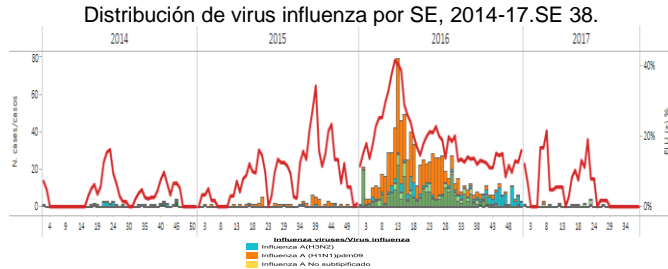
Graph 3. Cuba Influenza and RSV distribution, 2014-17
Distribución de virus influenza y VSR, 2014-17



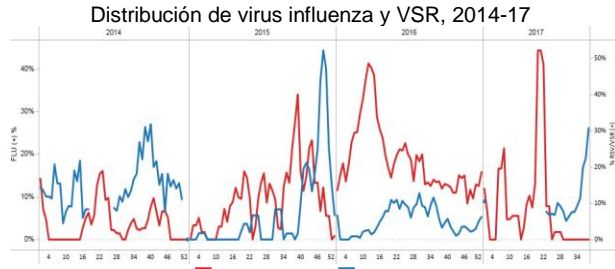
Dominican Republic / República Dominicana

- Graph 1.** During EW 38, no influenza detections were reported and influenza B predominated in recent weeks. / Durante la SE 38, no se reportaron detecciones de influenza y predominó influenza B en semanas previas.
- Graph 2.** During EW 38, increased RSV activity was reported (30.1% positivity). / Durante la SE 38, se reportó mayor actividad de VSR (30,1% de positividad).
- Graph 3.** During EW 38, the percent positivity for influenza was below the alert threshold and the average epidemic curve. / Durante la SE 38, el porcentaje de positividad para influenza se ubicó por debajo del umbral de alerta y de la curva epidémica promedio.

Graph 1. Dominican Republic: Influenza virus distribution EW, 2014-17. EW 38.
Distribución de virus influenza por SE, 2014-17. SE 38.

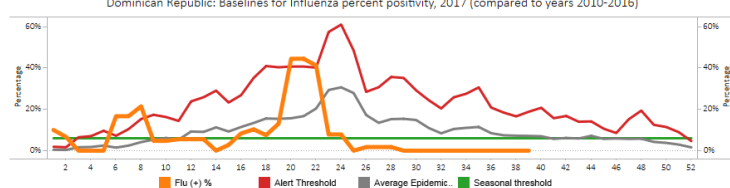


Graph 2. Dominican Republic Influenza and RSV distribution, 2014-17
Distribución de virus influenza y VSR, 2014-17



Graph 3. Dominican Republic: Percent positivity for influenza, 2017 (in comparison to 2010-2016)
Porcentaje de positividad de influenza, 2017 (en comparación a 2010-2016)

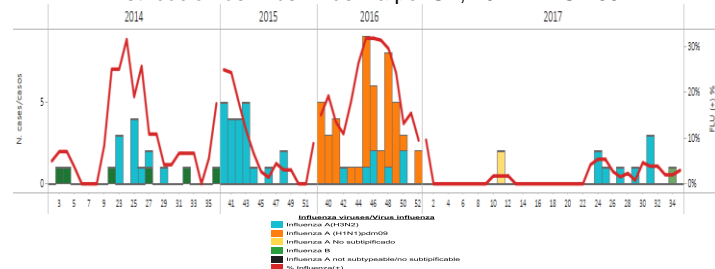
Dominican Republic: Baselines for Influenza percent positivity, 2017 (compared to years 2010-2016)



Haiti

- Graph 1.** During EW 35, few influenza detections were reported, with influenza B predominating. / Durante la SE 35, se reportaron escasas detecciones de influenza, con predominio de influenza B.

Graph 1. Haiti: Influenza virus distribution EW, 2014-17. EW 35.
Distribución de virus influenza por SE, 2014-17. SE 35.



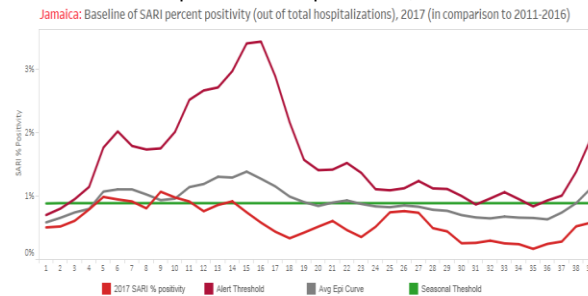
Jamaica

- Graph 1.** During EW 39, the proportion of SARI hospitalizations among all hospitalizations slightly increased and remained below the average epidemic curve and the alert threshold as compared to previous weeks. /

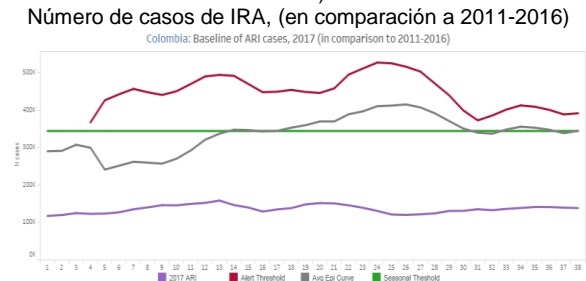
Durante la SE 38, la actividad de IRAG aumentó ligeramente, y se mantiene por debajo de la curva epidémica promedio y el umbral de alerta, en relación a semanas previas.

- **Graph 2.** During EW 39, the number of pneumonia cases increased below the alert threshold and was higher than the previous seasons for the same period. / Durante la SE 39, el número de casos de neumonía aumentó por debajo del umbral de alerta y fue superior que las temporadas previas para el mismo período.
- **Graph 3.** During EW 39, ARI cases remained at similar levels as compared to previous weeks, and was similar to levels observed in previous season for the same period. / Durante la SE 39, el número de casos de IRA permaneció a niveles similares en relación a las semanas previas, y fue similar a lo observado en temporadas previas para el mismo período.
- **Graph 4.** During EW 39, few influenza detections were reported, with decreased activity and influenza B predominating. / Durante la SE 39, se reportaron escasas detecciones de influenza, con disminución de la actividad y predominio de influenza B.
- **Graph 5.** During EW 39, influenza positivity decreased as compared to previous weeks and was below the seasonal threshold. / Durante la SE 39, la positividad de influenza disminuyó en comparación con las semanas previas y se ubicó por debajo del umbral estacional.

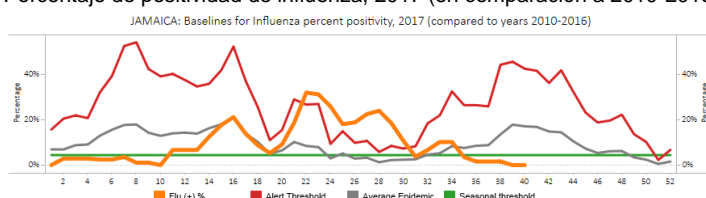
Graph 1. Jamaica: % hospitalizaciones de casos IRAG entre total de hospitalizaciones por SE 39, 2011-2017.



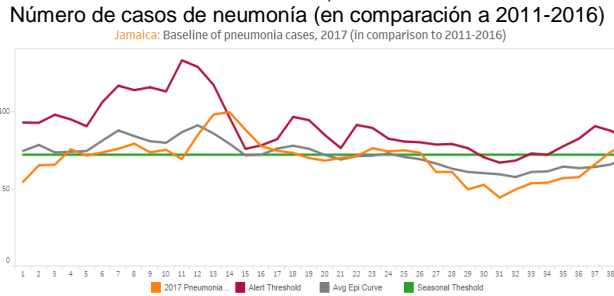
Graph 3. Jamaica: Number of ARI cases (compared to 2011-2016)



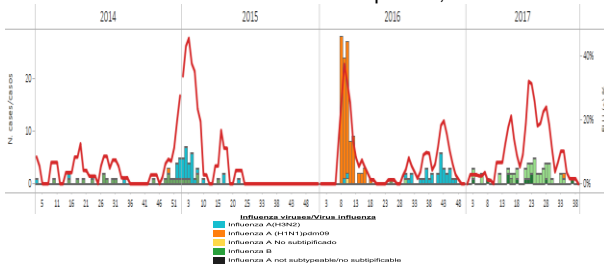
Graph 5. Jamaica: Percent positivity for influenza, 2017 (in comparison to 2010-2016)



Graph 2. Jamaica: Number of pneumonia cases (compared to 2011-2016)



Graph 4. Jamaica: Influenza virus distribution by EW, 2014-17



Puerto Rico

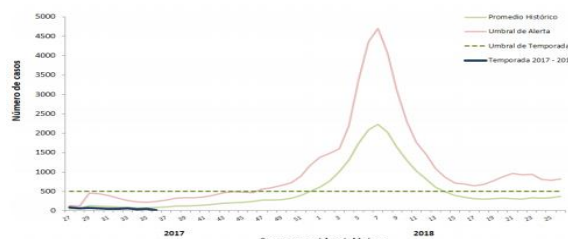
- **Graph 1,2.** Influenza detections remained below the seasonal threshold in recent weeks, with increased detections during EW 36. Influenza A(H3N2) and influenza B co-circulated. / Las detecciones de influenza permanecieron por debajo del umbral estacional en semanas previas, con aumento de detecciones durante la SE 36. Co-circularon influenza A(H3N2) e influenza B.
- **Graph 3.** During EW 36, ILI activity³ slightly increased, as compared to the previous week, and remained below the average epidemic curve. / Durante la SE 36, la actividad de ETI aumentó ligeramente en comparación con la semana previa, y permaneció por debajo de la curva epidémica promedio.

³ Report available at: <http://www.cdc.gov/flu/weekly/index.htm>

Graph 1. Puerto Rico: Influenza-positive cases by EW 36, 2016-17

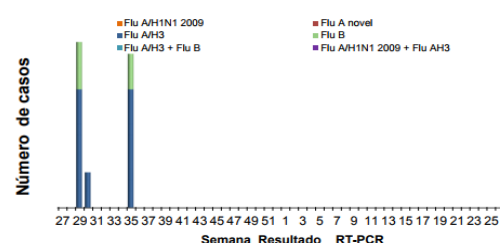
Casos positivos a influenzar SE 36, 2016-17

Temporada 2017 - 2018 en comparación con el promedio histórico, umbral de temporada y umbral de alerta, Puerto Rico



Graph 2. Puerto Rico: PCR influenza-positive results by subtype by EW, 2016-2017.EW 36.

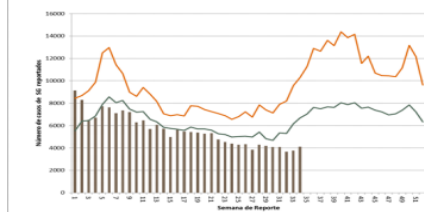
GRAFICA 5. Resultados de RT-PCR por semana de resultado Puerto Rico, Temporada 2016 - 2017



Graph 3. Puerto Rico: ILI epidemic rates by EW 36, 2017

GRÁFICA 4. Informe de Índices Epidemiológicos de Síndromes Gripales, Semana 34, Puerto Rico 2017

Índices Epidemiológicos de Síndromes Gripales
Puerto Rico, 2017

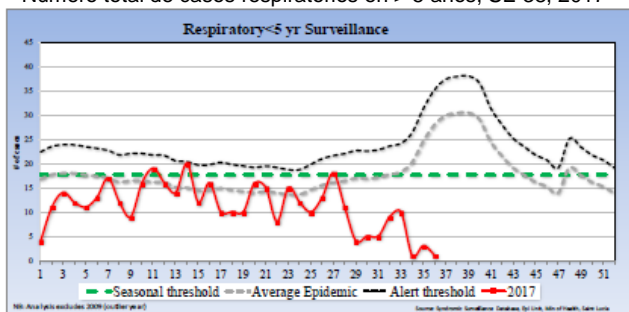


Saint Lucia

- Graph 1.** During EW 38, the number of cases with respiratory symptoms among children under 5 years of age slightly decreased and remained below the seasonal threshold. The highest incidence rate was reported in Laborie, Soufriere and Dennery. / Durante la SE 38, el número de casos con síntomas respiratorios en niños menores de 5 años de edad disminuyó ligeramente y permaneció por debajo del umbral estacional. La tasa de incidencia más elevada fue reportada en Laborie, Soufriere y Dennery.
- Graph 2,3.** The number of cases of fever and respiratory symptoms among 5 years-of-age and older slightly decreased but remained below the alert threshold and the average epidemic curve during EW 38. Most of the cases were notified in Micoud. / El número de casos de fiebre y síntomas en el grupo de 5 años y mayores disminuyó ligeramente si bien permaneció debajo del umbral de alerta y la curva epidémica promedio durante la SE 38. La mayoría de los casos fueron detectados en Micoud.
- Graph 4.** In EW 38, SARI activity slightly decreased as compared to the previous week, representing 4.5% of total hospitalizations. SARI admissions were below the levels observed for 2014-2016. / En la SE 38, la actividad de IRAG aumentó ligeramente en comparación a la semana anterior, representando 4,5% del total de hospitalizaciones. Las admisiones por IRAG fueron bajas en relación a los niveles observados para 2014-2016.

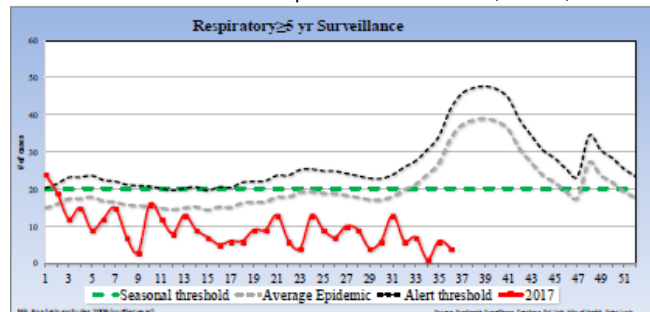
Graph 1. Saint. Lucia: Total number of cases for respiratory symptoms in <5 years of age, EW 38, 2017

Número total de casos respiratorios en > 5 años, SE 38, 2017

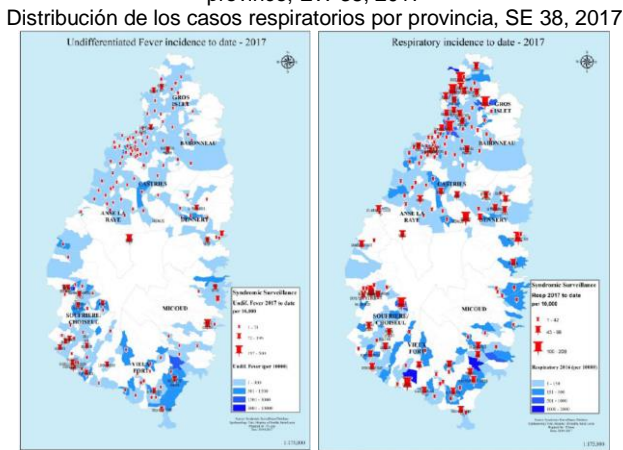


Graph 2. Saint. Lucia: Total number of cases for respiratory symptoms in >5 years og age, EW 38, 2017

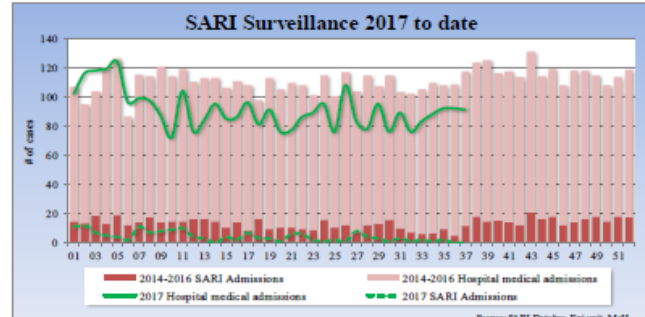
Número total de casos respiratorios en >5 años, SE 38, 2017



Graph 3. Saint. Lucia: Distribution of respiratory cases by province, EW 38, 2017



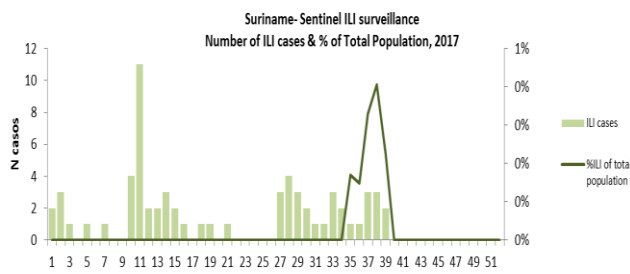
Graph 4. Saint. Lucia: Número y porcentaje de casos IRAG, SE 38, 2017



Suriname

- **Graph 1,2.** During EW 40, SARI-related hospitalizations slightly increased, as compared to the previous weeks and were at similar levels than the previous season for the same period. As of EW 40, few ILI cases were reported, with low activity in recent weeks. / Durante la SE 40, las hospitalizaciones asociadas a IRAG aumentaron ligeramente, en relación a las semanas previas y estuvieron a niveles similares de temporadas previas para el mismo período. Hasta la SE 40, contados casos de ETI se han reportado, con baja actividad en semanas recientes.
- **Graph 3.** During EW 38, low influenza activity was reported, with influenza A(H3N2) predominating in recent weeks. / Durante la SE 38, se reportó baja actividad de influenza, con predominio de influenza A(H3N2) en semanas recientes.
- **Graph 4.** During EW 39, low influenza activity was reported and RSV positivity slightly increased (33% positivity), as compared to the previous season. / Durante la SE 39, se reportó baja actividad de influenza y la positividad de VSR aumentó ligeramente (33% de positividad) en comparación a la temporada anterior.
- **Graph 5.** During EW 39, the percent positivity for influenza was below the seasonal threshold and the average epidemic curve. / Durante la SE 39, el porcentaje de positividad para influenza se ubicó por debajo del umbral estacional y de la curva epidémica promedio.

Graph 1. Suriname: Number of ILI cases, by age, by EW, 2017.EW 40
Número de casos ETI, en grupo de edad, por SE, 2017.SE 40

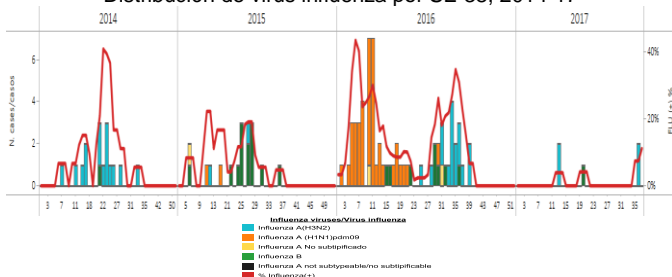


Graph 2. Suriname: % SARI hospitalizations among all causes, by EW, 2017.EW 40.

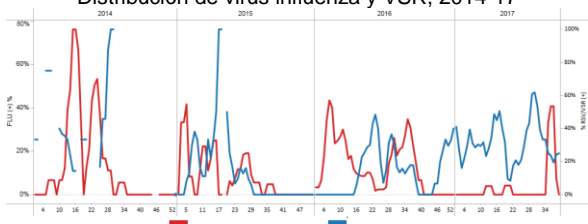
Casos % de hospitalizaciones IRAG entre todas las causas, por SE, 2017.SE 40.



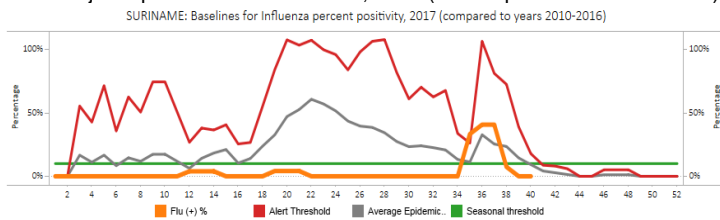
Graph 3. Suriname: Influenza virus distribution by EW 38, 2014-17
Distribución de virus influenza por SE 38, 2014-17



Graph 4. Suriname: Influenza and RSV distribution, 2014-17
Distribución de virus influenza y VSR, 2014-17

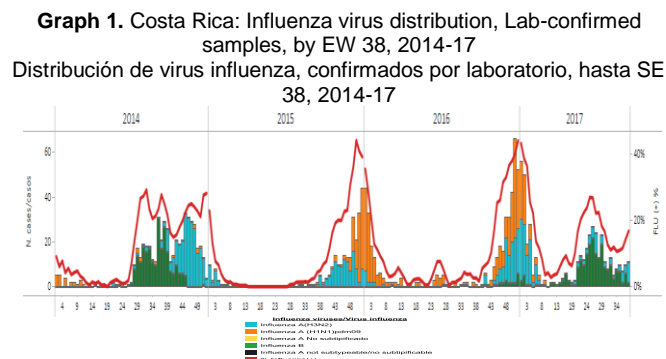


Graph 5. Suriname: Percent positivity for influenza, 2017 (in comparision to 2010-2016)
Porcentaje de positividad de influenza, 2017 (en comparación a 2010-2016)



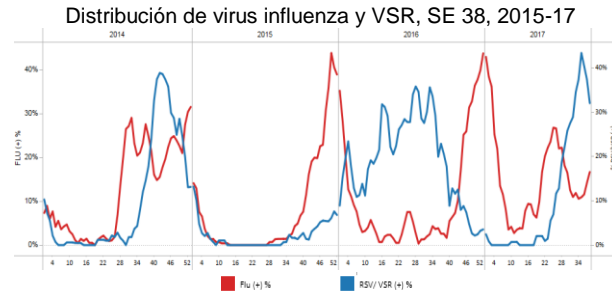
Costa Rica

- **Graph 1.** During EW 38, influenza activity slightly increased with a lower percent positivity (19%) than the previous week with influenza B and A(H3N2) co-circulating. / Durante la SE 38, la actividad de influenza aumentó ligeramente con un porcentaje de positividad (19%) más bajo que en semanas previas con co-circulación de influenza B y A(H3N2).
- **Graph 2.** During EW 38, RSV percent positivity decreased from levels observed in previous weeks. / Durante la SE 38, el porcentaje de positividad de VSR disminuyó en relación a los niveles de semanas previas.
- **Graph 3.** During EW 39, the proportion of SARI-associated deaths (15%) slightly increased; while the proportion of SARI-associated hospitalizations (4%) and ICU admissions (12.5%) decreased from previous weeks. / Durante la SE 39, la proporción de fallecidos asociados a IRAG (15%) aumentó ligeramente; en tanto la proporción de hospitalizaciones asociadas a IRAG (4%) y las admisiones a UCI (12.5%) disminuyeron respecto a semanas previas.

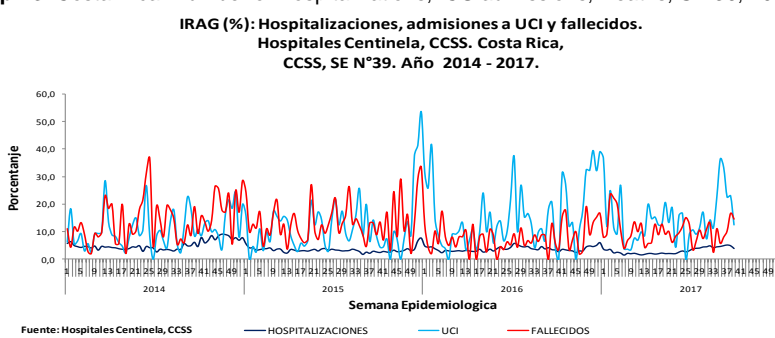


Graph 2. Costa Rica: Influenza and RSV distribution, EW 38, 2015-17

Distribución de virus influenza y VSR, SE 38, 2015-17



Graph 3. Costa Rica: Number of Hospitalizations, ICU admissions, Deaths, SE 39, 2014-2017

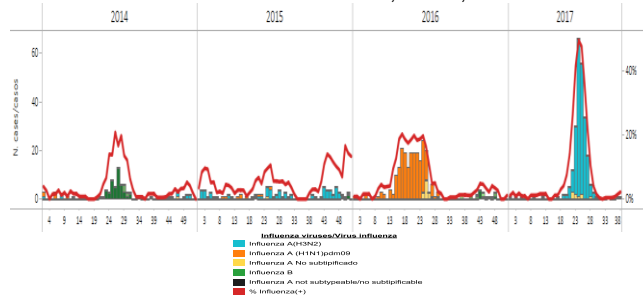


El Salvador

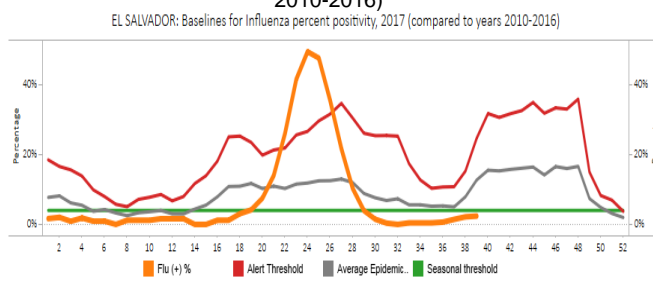
- **Graph 1.** During EW 38 and in recent weeks, slightly increasing influenza activity was reported (2% positivity in EW 38), with influenza A(H3N2) predominating. / Durante la SE 38 y en semanas previas, se ha reportado un ligero aumento de la actividad de influenza (2% de positividad en la SE 38), con predominio de influenza A(H3N2).
- **Graph 2.** As of EW 38, RSV positivity slightly decreased and was higher than levels observed in the previous season; influenza positivity was lower than levels observed during the 2015-2016 season for the same period. / En la SE 38, la positividad de VSR disminuyó ligeramente y fue superior a los niveles observados en la temporada previa; la positividad de influenza fue menor a los niveles observados durante la temporada 2015-2016, para el mismo período.
- **Graph 3.** During EW 38, the percent positivity for influenza reported to slightly increase from previous weeks and was below the alert threshold and at the average epidemic curve. / Durante la SE 38, el porcentaje de positividad para influenza se reportó en ligero aumento respecto a las semanas previas y se ubicó por debajo del umbral de alerta y en la curva epidémica promedio.
- **Graph 4.** During EW 38, the percent positivity for RSV reported to increase above the average epidemic curve during the last 10 weeks, and was above the alert threshold from EW 32 to EW 36. / Durante la SE 36, el porcentaje de positividad para VSR se reportó en aumento sobre la curva epidémica promedio durante las últimas 10 semanas, y se ubicó por encima del umbral de alerta desde la SE 32 hasta las SE36.

- Graph 5.** During EW 39, SARI case counts reported to slightly decreased from the previous weeks. / Durante la SE 39, el número de casos de IRAG se reportó en ligero descenso en relación a las semanas previas.
- Graph 6.** During EW 39, pneumonia case counts slightly decreased as compared to recent weeks, and was higher than 2016 season for the same period. / Durante la SE 39, el recuento de casos de neumonía disminuyó ligeramente en comparación a semanas recientes, y fue superior a la temporada 2016 para el mismo período.
- During EW 39, 2017, higher pneumonia cumulative rates (595 cases per 100,000 population) were reported as compared to the rates observed in 2016 season, for EW 39 (516). The highest rates were reported in 3 departments: San Miguel (1.132), La Union (1.045), and Usulután (914). / Durante la SE 39 de 2017, se reportaron mayores tasas acumuladas de neumonía (595 casos por 100.000 habitantes) en comparación a las tasas observadas en la temporada 2016, para la SE 39 (516). Las tasas más elevadas se reportaron en 3 departamentos: San Miguel (1,132), La Union (1,045), y Usulután (914).
- Graph 7.** During EW 39, SARI case counts from sentinel sites slightly decreased from the previous weeks but remained above the alert threshold. / Durante la SE 39, el recuento de casos de IRAG de sitios centinela disminuyó ligeramente en relación a las semanas previas pero permaneció sobre el umbral de alerta.
- During EW 39, 2017, lower ARI cumulative rates (407 cases per 100,000 population) were reported as compared to the rates observed in EW 38 (615). As of EW 39, 2017, higher cumulative ARI rates were reported (25.265 cases per 100,000 population), as compared levels notified during 2016 season for the same period (24.725 cases per 100,000 population). The highest rates were reported in 3 departments: Chalatenango (34.865), San Salvador (32.652) and Usulután (26.428). / Durante la SE 39 de 2017, se reportaron menores tasas acumuladas de IRA (407 casos por 100.000 habitantes) en comparación a las tasas observadas en la SE 38 (615). Hasta la SE 39 de 2017, se reportaron tasas acumuladas de IRA más elevadas (25,265 casos por 100.000 habitantes), en relación a los niveles notificados durante la temporada 2016 para el mismo período (24,725 casos por 100.000 habitantes). Las tasas más elevadas se reportaron en 3 departamentos: Chalatenango (34,865), San Salvador (32,652) y Usulután (26,428).

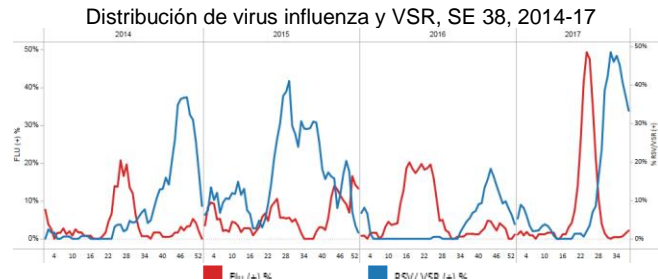
Graph 1. El Salvador: Influenza virus distribution, EW 38, 2014-17
Distribución de virus influenza, SE 38, 2014-17



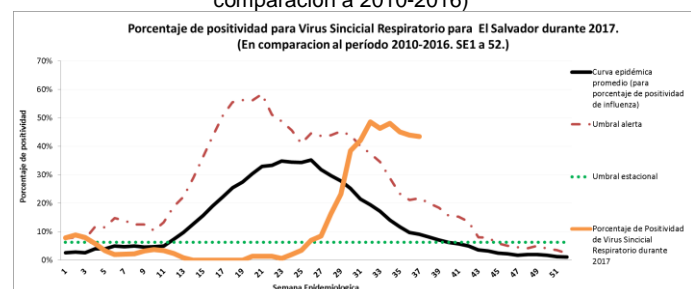
Graph 3. El Salvador: Percent positivity for influenza, 2017 (in comparison to 2010-2016)
Porcentaje de positividad de influenza, 2017 (en comparación a 2010-2016)



Graph 2. El Salvador: Influenza and RSV distribution, EW 38, 2014-17
Distribución de virus influenza y VSR, SE 38, 2014-17



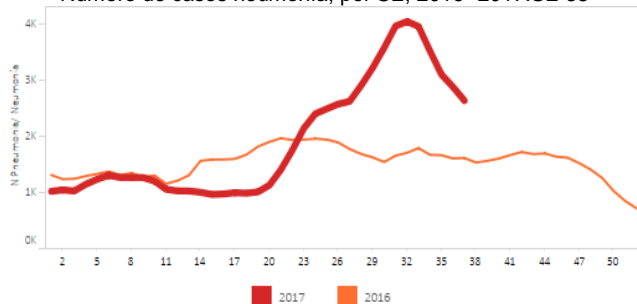
Graph 4. El Salvador: Baseline for the percent positivity for RSV, 2017 (in comparison to 2010-2016)
Línea basal para el porcentaje de positividad de VSR, 2017 (en comparación a 2010-2016)



Graph 5. El Salvador: Percent of SARI cases out of total hospitalizations, by EW, 2016–2017.EW 39.
Porcentaje de casos por IRAG de todos hospitalizaciones, por SE, 2016-2017.SE 39

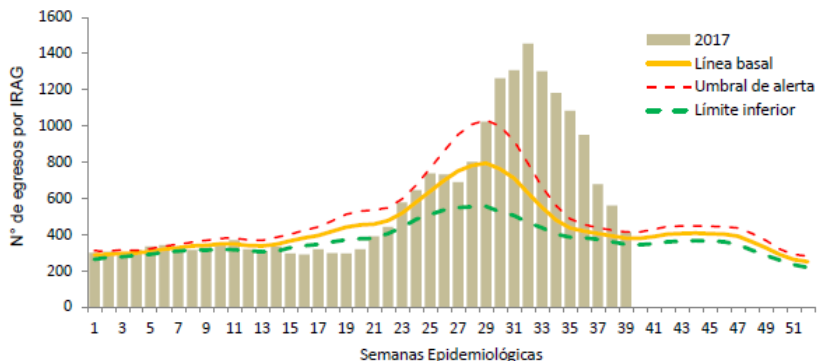


Graph 6. El Salvador: Number of pneumonia cases, by EW, 2016-2017.EW 38.
Número de casos neumonía, por SE, 2016-2017.SE 38



Graph 7. El Salvador: SARI cases endemic channel, EW 39, 2017.
Corredor endémico de casos IRAG, SE 39, 2017

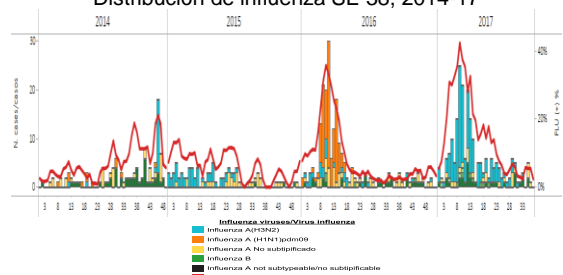
Gráfico 3.- Corredor endémico de casos de infección respiratoria aguda grave (IRAG) egresados por semana, MINSAL, El Salvador, Semana 39 – 2017



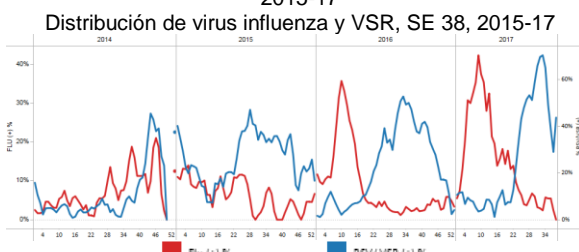
Guatemala

- Graph 1.** During EW 38, influenza detections decreased with influenza positivity less than 10% and with influenza B and A(H3N2) co-circulating in recent weeks. The influenza proportion was similar to previously reported levels from 2015-2016 season for the same period. / Durante la SE 38, las detecciones de influenza disminuyeron ligeramente con positividad de influenza menor a 10% y con co-circulación de influenza B y A(H3N2) en semanas recientes. La proporción de influenza fue similar a los niveles reportados de la temporada 2015-2016, para el mismo período.
- Graph 2.** During EW 38, RSV positivity slightly increased from levels in previous weeks / Durante la SE 38, la positividad de VSR aumentó en relación a los niveles de semanas previas.
- Graph 3.** During EW 38, the percent positivity for influenza reported to slightly decrease from previous weeks above the average epidemic curve and the alert threshold. / Durante la SE 38, el porcentaje de positividad para influenza se reportó en ligero descenso respecto a las semanas previas sobre la curva epidémica promedio y el umbral de alerta.
- Graph 4.** During EW 36, 2017 the percent of SARI hospitalizations decreased from previous weeks. / Durante la SE 36, el porcentaje de hospitalizaciones por IRAG disminuyó en relación a las semanas previas.
- Graph 5.** During EW 36, 2017 the percent of ILI cases among all consultations slightly increased as compared to previous weeks. / Durante la SE 36, el porcentaje de casos de ETI sobre el total de consultas aumentó ligeramente en relación a las semanas previas.

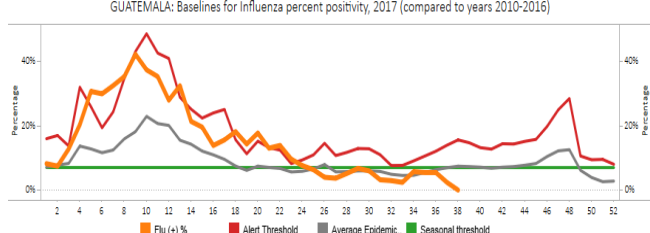
Graph 1. Guatemala. Influenza virus distribution EW 38, 2014-17
Distribución de influenza SE 38, 2014-17



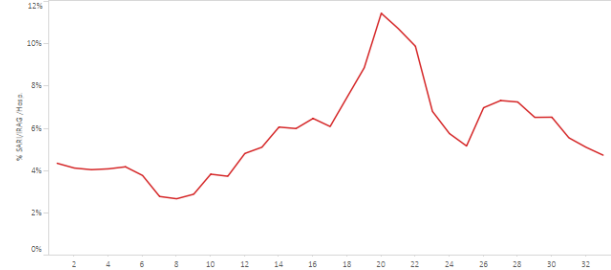
Graph 2. Guatemala: Influenza and RSV distribution, EW 38, 2015-17
Distribución de virus influenza y VSR, SE 38, 2015-17



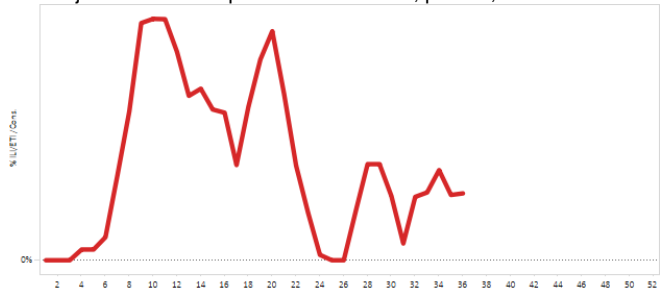
Graph 3. Guatemala: Percent positivity for influenza, 2017 (in comparision to 2010-2016)
Porcentaje de positividad de influenza, 2017 (en comparación con 2010-2016)



Graph 4. Guatemala: Percent of SARI hospitalizations, by EW, 2016- 2017.EW 33.
Porcentaje de hospitalizaciones IRAG, por SE, 2016- 2017.SE 33



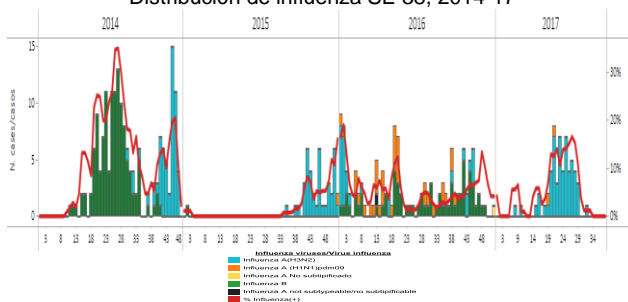
Graph 5. Guatemala: Percent of ILI cases per total consultations, by EW, 2016- 2017.EW 36.
Porcentaje de casos ETI por todas consultas, por SE, 2016- 2017.SE 36



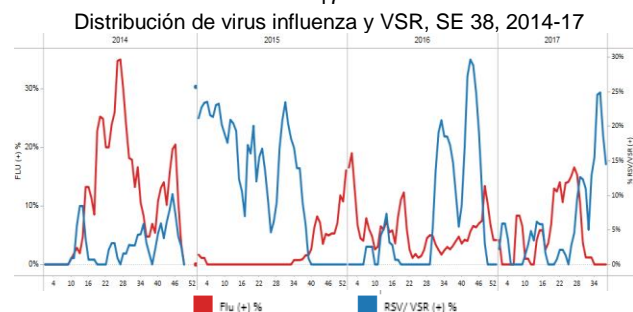
Honduras

- Graph 1.** During EW 38, no influenza activity was reported; influenza A(H3N2) predominated in recent weeks. / Durante la SE 38, no se reportó actividad de influenza; predominó influenza A(H3N2) en semanas recientes.
- Graph 2.** As of EW 38, influenza percent positivity decreased and RSV positivity slightly decreased to 15%; the percent positivity for RSV was higher than levels observed during 2016 for the same period. / Durante la SE 38, la positividad de influenza disminuyó y la positividad de VSR disminuyó ligeramente a 15%; el porcentaje de positividad de RSV fue superior a los niveles observados durante 2016 para el mismo período.
- Graph 3.** During EW 38, the percent positivity for influenza reported to decrease from previous weeks and was below the alert threshold and the average epidemic curve. / Durante la SE 38, el porcentaje de positividad para influenza se reportó en disminución respecto a las semanas previas y se ubicó por debajo del umbral de alerta y la curva epidémica promedio.

Graph 1. Honduras. Influenza virus distribution EW 38, 2014-17
Distribución de influenza SE 38, 2014-17

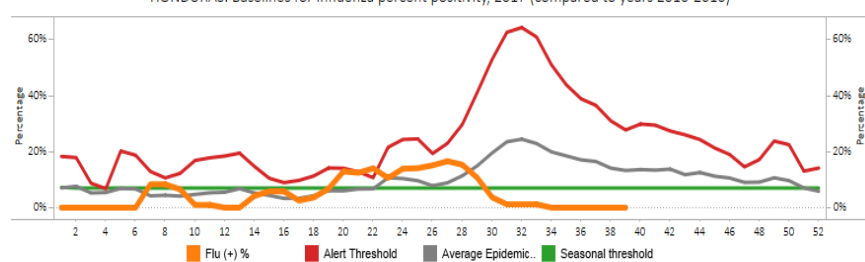


Graph 2. Honduras: Influenza and RSV distribution, EW 38, 2014-17
Distribución de virus influenza y VSR, SE 38, 2014-17



Graph 3. Honduras : Percent positivity for influenza, 2017 (in comparision to 2010-2016)
Porcentaje de positividad de influenza, 2017 (en comparación con 2010-2016)

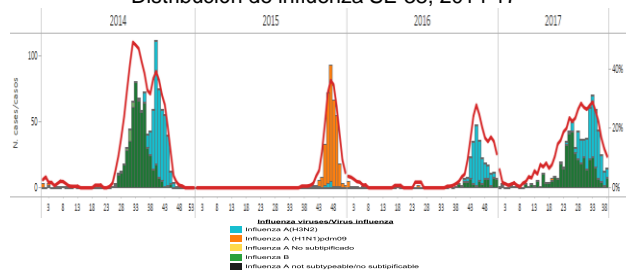
HONDURAS: Baselines for Influenza percent positivity, 2017 (compared to years 2010-2016)



Nicaragua

- Graph 1.** During EW 38, influenza activity slightly decreased (16.2% positivity), with influenza A(H3N2) and B co-circulating in recent weeks. / Durante la SE 38, la actividad de influenza disminuyó ligeramente (16.2% de positividad) con co-circulación de influenza A(H3N2) y B. en semanas previas.
- Graph 2.** As of EW 38, influenza positivity slightly decreased in comparison to previous weeks, and was higher than the 2015-2016 season for the same period. / Durante la SE 38, la positividad de influenza disminuyó ligeramente, en comparación a las semanas previas, y se ubicó por encima de los niveles registrados en la temporada 2015-2016 para el mismo período.
- Graph 3.** During EW 38, the percent positivity for influenza reported at similar levels from previous weeks and was below the alert threshold and the average epidemic curve. / Durante la SE 38, el porcentaje de positividad para influenza se reportó a niveles similares respecto a las semanas previas y se ubicó por debajo del umbral de alerta y la curva epidémica promedio.
- Graph 4.** During EW 39, 2017, lower pneumonia rates (4 cases per 10,000 population) were reported as compared to the rates observed in the previous week, below the average epidemic curve.⁴ / Durante la SE 39 de 2017, se reportaron menores tasas de neumonía (4 casos por 10.000 habitantes) en comparación con la semana previa, por debajo de la curva epidémica promedio.
- Graph 5.** During EW 39, 2017, lower ARI rates (400 cases per 10,000 population) were reported as compared to the rates observed in the previous week, below the alert threshold. / Durante la SE 39 de 2017, se reportaron menores tasas de neumonía (400 casos por 10.000 habitantes) en comparación a las tasas observadas en la semana previa, debajo del umbral de alerta.

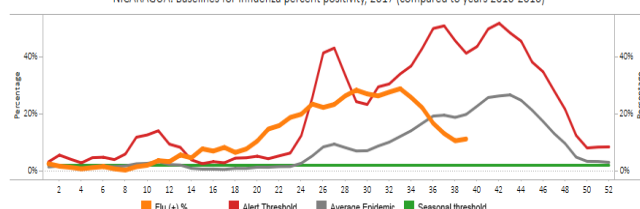
Graph 1. Nicaragua. Influenza virus distribution EW 38, 2014-17
Distribución de influenza SE 38, 2014-17



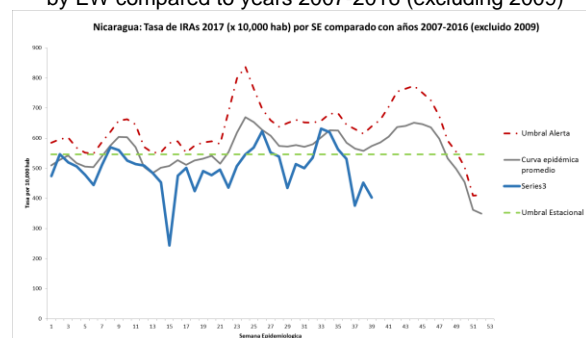
Graph 3. Nicaragua : Percent positivity for influenza, 2017 (in comparison to 2010-2016)

Porcentaje de positividad de influenza, 2017 (en comparación a 2010-2016)

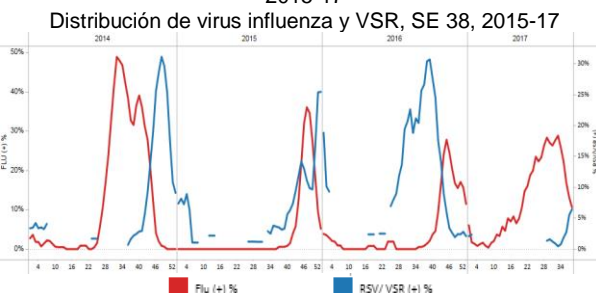
NICARAGUA: Baseline for Influenza percent positivity, 2017 (compared to years 2010-2016)



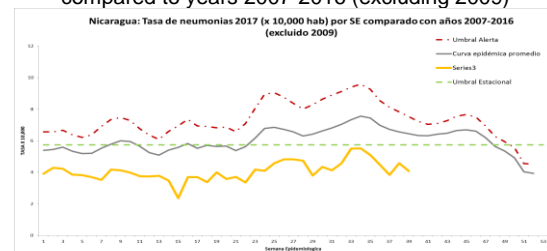
Graph 5. Nicaragua: ARI Rate 2017 (x10,000 pop) by EW compared to years 2007-2016 (excluding 2009)



Graph 2. Nicaragua: Influenza and RSV distribution, EW 38, 2015-17
Distribución de virus influenza y VSR, SE 38, 2015-17



Graph 4. Nicaragua: Pneumonia Rate 2017 (x10,000 pop) by EW compared to years 2007-2016 (excluding 2009)

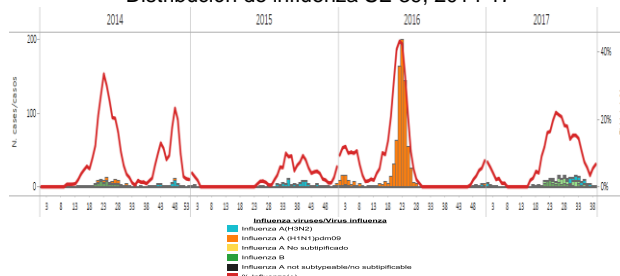


⁴ Weekly report available [here](#)

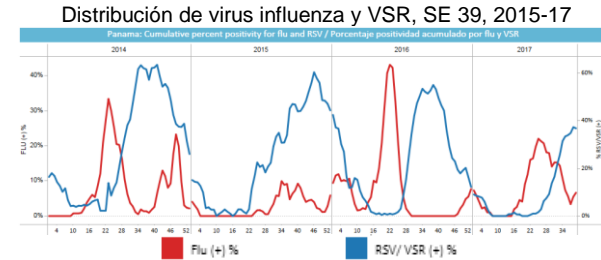
Panama

- **Graph 1.** During EW 39, few influenza detections were reported, with an increasing percent positivity (11.1%). / Durante la SE 39, se ha reportado contadas detecciones de influenza con un porcentaje de positividad en aumento (11,1%)
- **Graph 2.** During EW 39, influenza positivity slightly increased to 11.1% and RSV positivity remained lower than levels observed during the 2015-2016 season for the same period / Durante la SE 39, la positividad de influenza aumentó ligeramente a 11,1% y la positividad de VSR permaneció por debajo de los niveles observados durante la temporada 2015-2016 para el mismo período.
- **Graph 3.** During EW 39, the percent positivity for influenza slightly increased from previous weeks and was above the alert threshold and the average epidemic curve. / Durante la SE 39, el porcentaje de positividad para influenza se reportó en ligero aumento respecto a las semanas previas y se ubicó sobre del umbral de alerta y la curva epidémica promedio.

Graph 1. Panama. Influenza virus distribution EW 39, 2014-17
Distribución de influenza SE 39, 2014-17

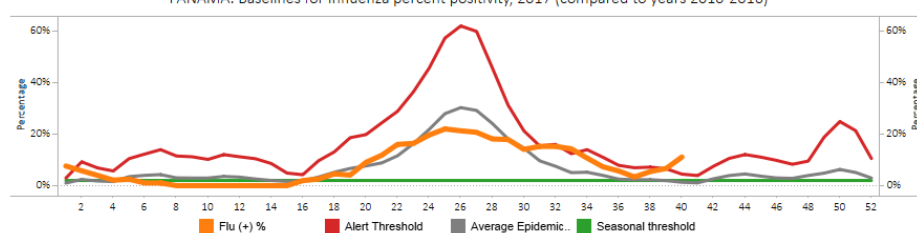


Graph 2. Panama: Influenza and RSV distribution, EW 39, 2015-17
Distribución de virus influenza y VSR, SE 39, 2015-17



Graph 3. Panama : Percent positivity for influenza, 2017 (in comparision to 2010-2016)
Porcentaje de positividad de influenza, 2017 (en comparación a 2010-2016)

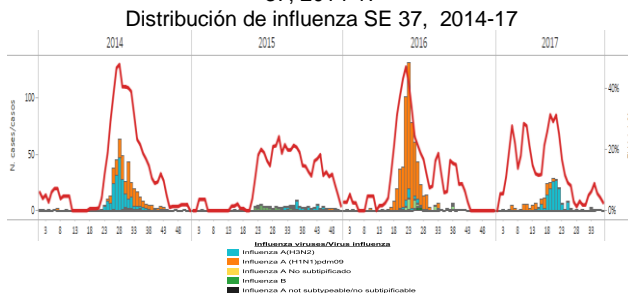
PANAMA: Baselines for Influenza percent positivity, 2017 (compared to years 2010-2016)



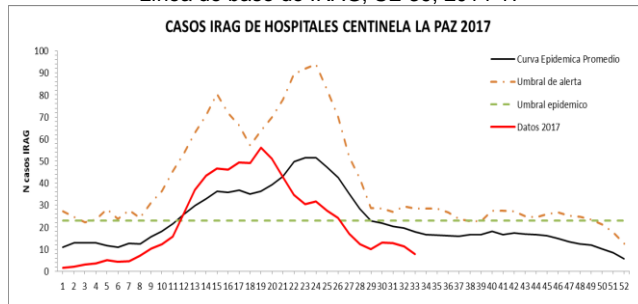
Bolivia

- **Graph 1.** During EW 37, in La Paz, slightly decreased influenza activity was reported (~2%), with few detections and influenza A(H3N2) predominating. / Durante la SE 37, en La Paz, se ha reportado actividad ligeramente disminuida de influenza (~2%), con escasas detecciones y predominio de influenza A(H3N2).
- **Graph 2.** As of EW 37, the percent positivity for influenza and for RSV were lower than the previous season for the same period./ Durante la SE 37, el porcentaje de positividad para influenza y para VSR fueron menores que los registrados en la temporada previa para el mismo período.
- **Graph 3.** As of EW 39, the number of SARI cases was reported to be below the alert threshold and the average epidemic curve for this season. / Durante la SE 39, el número de casos de IRAG se reportó por debajo del umbral de alerta y de la curva epidémica promedio para esta temporada.
- **Graph 4.** As of EW 34, in Santa Cruz, influenza activity slightly decreased with influenza B predominating. / Durante la SE 34, en Santa Cruz, la actividad de influenza aumentó ligeramente con predominio de influenza B.
- **Graph 5.** As of EW 34, in Santa Cruz, influenza positivity increased to 5% from previous weeks. / Durante la SE 34, en Santa Cruz, la positividad de influenza aumentó a 5% en relación a semanas previas.
- **Graph 6.** During EW 39, in Santa Cruz, SARI cases decreased from previous weeks and were below the seasonal threshold./ Durante la SE 39, en Santa Cruz, los casos de IRAG disminuyeron en relación a las semanas previas por debajo del umbral estacional.

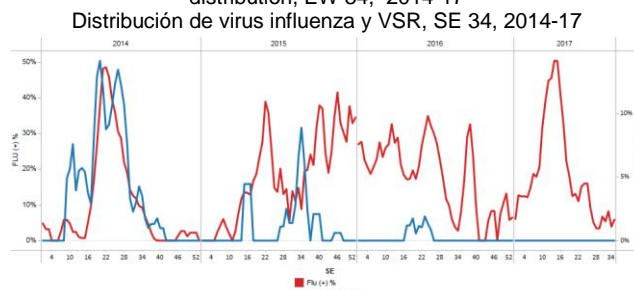
Graph 1. Bolivia INLASA (La Paz). Influenza virus distribution EW 37, 2014-17



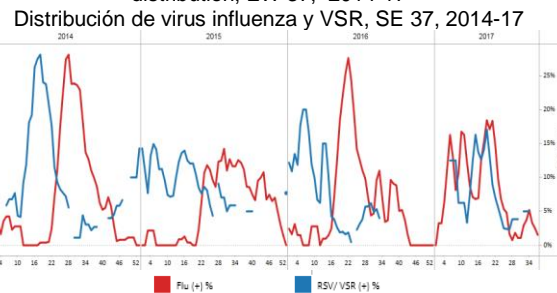
Graph 3. Bolivia INLASA (La Paz): SARI baseline, EW 39, 2014-17
Línea de base de IRAG, SE 39, 2014-17



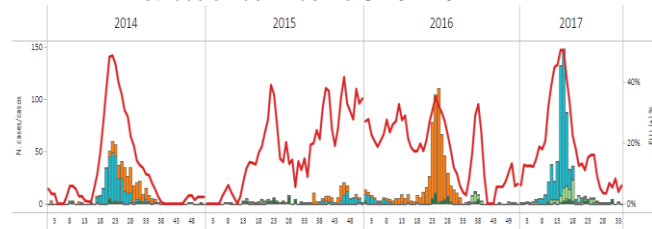
Graph 5. Bolivia CENETROP (Santa Cruz): Influenza and RSV distribution, EW 34, 2014-17



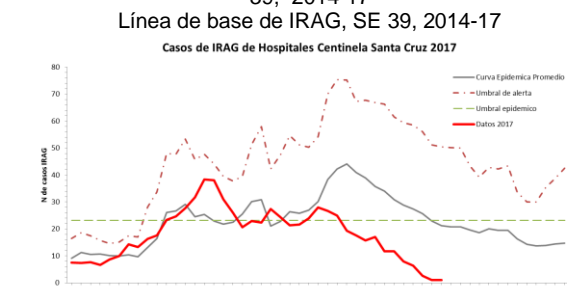
Graph 2. Bolivia INLASA (La Paz): Influenza and RSV distribution, EW 37, 2014-17



Graph 4. Bolivia CENETROP (Santa Cruz). Influenza virus distribution EW 34, 2014-17
Distribución de influenza SE 34 2014-17

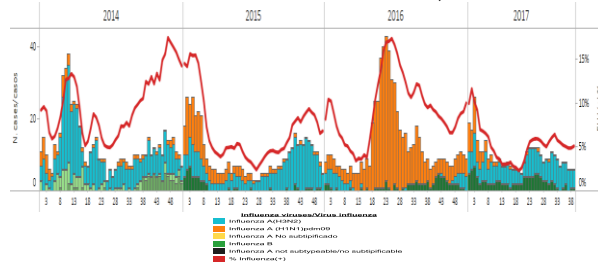


Graph 6. Bolivia CENETROP (Santa Cruz): SARI baseline, EW 39, 2014-17
Línea de base de IRAG, SE 39, 2014-17

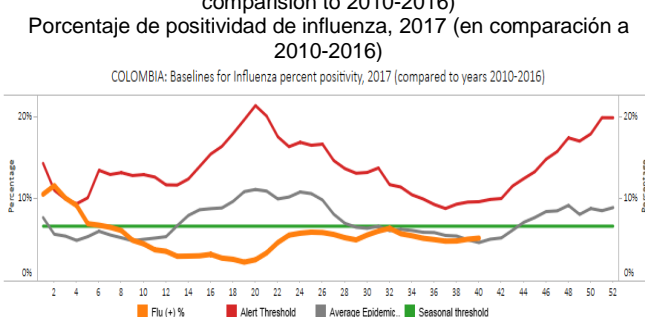


- Graph 1.** During EW 39, influenza activity slightly increased to 5.2% positivity, with co-circulation of influenza A(H3N2) and B. / Durante la SE 39, la actividad de influenza aumentó ligeramente a 5,2% de positividad, con co-circulación de influenza A(H3N2) y B.
- Graph 2.** As of EW 39, RSV positivity and influenza positivity remained at similar levels as compared to previous weeks. Influenza and RSV counts were lower than levels observed during the 2015-2016 season. / En la SE 39, la positividad de VSR y la positividad de influenza permanecieron a niveles similares de las semanas previas. Los recuentos de influenza y VSR fueron menores que los niveles observados durante el período 2015-2016.
- Graph 3.** During EW 39, the percent positivity for influenza slightly increased from previous weeks and was below the alert threshold and at the average epidemic curve. / Durante la SE 39, el porcentaje de positividad para influenza se reportó en ligero aumento respecto a las semanas previas y se ubicó debajo del umbral de alerta y en la curva epidémica promedio.
- Graph 4.** During EW 39, SARI activity decreased as compared to prior weeks and was below the average epidemic curve. / Durante la SE 39, la actividad de IRAG disminuyó en comparación a las semanas previas y se ubicó por debajo de la curva epidémica promedio.
- Graph 5.** During EW 38, counts of pneumonia cases slightly increased and were within levels observed in prior years. / Durante la SE 38, los casos de neumonía aumentaron ligeramente y fueron similares a los observados en años previos.
- Graph 6.** As of EW 38, the ARI rate slightly decreased as compared to previous weeks, and was similar to those observed in previous years (2015-2016). / En la SE 38, la tasa de IRA disminuyó ligeramente en comparación a las semanas previas, y fue similar a los niveles observados en años previos (2015-2016).
- Graph 7.** During EW 39, ARI mortality rates in children under 5 years of age was 8.0 per 100,000 children under 5; three states reported the highest rates: Vichada (125.3), Guainía (75.5), and Chocó (29.1). / En la SE 39, la mortalidad por IRA en niños menores de 5 años fue 8,0 por cada 100.000 menores de 5 años de edad; tres estados reportaron las tasas más elevadas: Vichada (125,3), Guainía (75.5), y Chocó (29,1).
- Graph 8.** As of EW 39⁵, the ARI-related deaths reported among children under 5 years of age (n=14) were lower to those observed in previous weeks and 350 ARI-related cumulative deaths were reported in children under 5 during 2017. During EW 39, the highest ARI-related deaths were reported in North of Santander and Valle del Cauca. / En la SE 39, las muertes asociadas a IRA en niños menores de 5 años (n=14) fueron menores a las observadas en semanas previas y un total de 350 muertes asociadas a IRA fueron notificadas en niños menores de 5 en 2017. Durante la SE 39 las tasas más elevadas de muertes asociadas a IRA en relación a las temporadas previas fueron reportadas en el norte de Santander y Valle del Cauca.

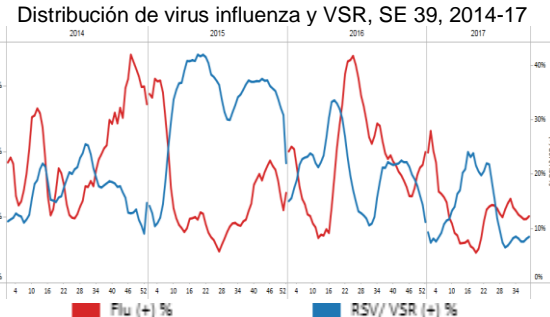
Graph 1. Colombia. Influenza virus distribution EW 39, 2014-17
Distribución de virus influenza SE 39, 2014-17



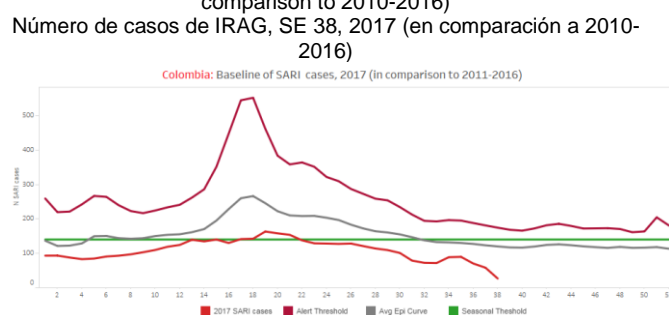
Graph 3. Colombia: Percent positivity for influenza, 2017 (in comparison to 2010-2016)
Porcentaje de positividad de influenza, 2017 (en comparación a 2010-2016)



Graph 2. Colombia: Influenza and RSV distribution, EW 39, 2014-17
Distribución de virus influenza y VSR, SE 39, 2014-17

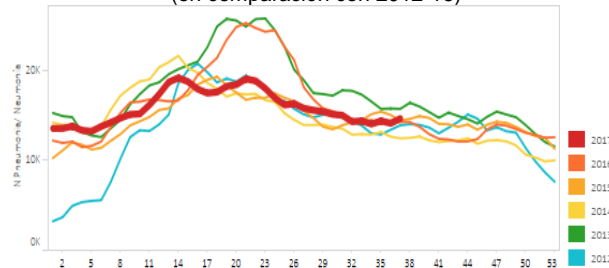


Graph 4. Colombia: Number of SARI cases, EW 38, 2017 (in comparison to 2010-2016)
Número de casos de IRAG, SE 38, 2017 (en comparación a 2010-2016)

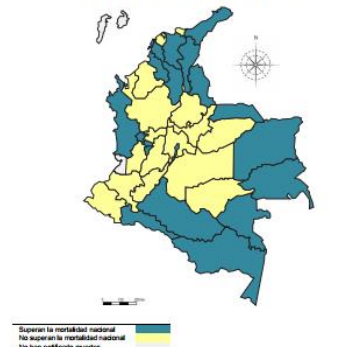


⁵ Report available at: <http://www.ins.gov.co/boletin-epidemiologico/Paginas/default.aspx>

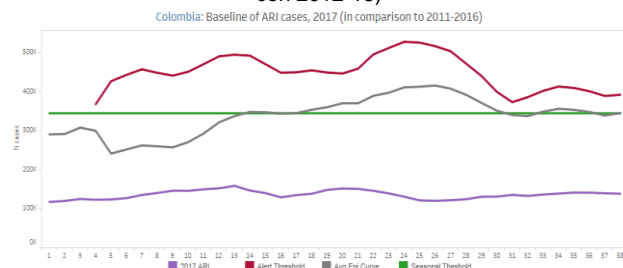
Graph 5. Colombia: Number of pneumonia-related hospitalizations, by EW 38, 2017 (in comparison with 2012-16)
Número de hospitalización asociado a neumonía, por SE 38, 2017 (en comparación con 2012-16)



Graph 7. Colombia: ARI-related deaths rates in children under 5 years of age, by EW 39, 2017
Mortalidad por IRA en niños menores de 5 años, por SE 39, 2017.
Mortalidad por infección respiratoria aguda grave en menores de cinco años
Colombia, semanas epidemiológicas 01-39, 2017

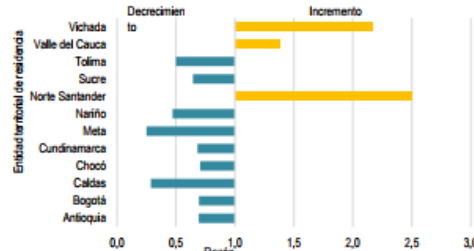


Graph 6. Colombia: Number of ARI cases (from all consultations), (in comparison with 2012-16)
Número de los casos IRA (de todas consultas), (en comparación con 2012-16)



Graph 8. Colombia: ARI-related deaths reported among children under 5 years of age by territorial entity, EW 39, 2017, as compared to 2014-2016.

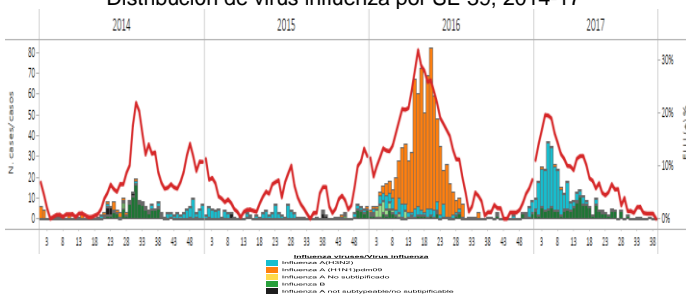
Comparación de la notificación de muertes por infección respiratoria aguda grave en menores de cinco años por entidad territorial de residencia a semana epidemiológica 39 de 2017 con su comportamiento histórico, Colombia, 2014-2016.



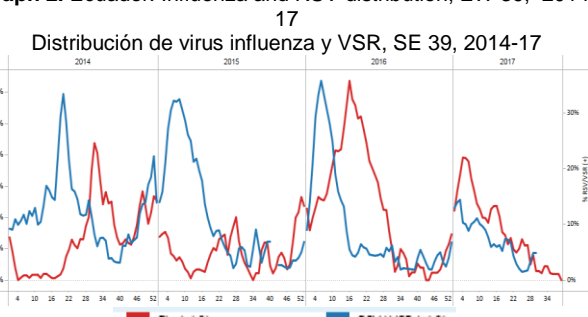
Ecuador

- Graph 1.** During EW 39, influenza activity slightly decreased to less than 1% positivity, but with overall few detections; influenza B predominated in recent weeks. / Durante la SE 39, la actividad de influenza disminuyó ligeramente a menos de 1% de positividad, pero con escasas detecciones en general; influenza B predominó en semanas previas.
- Graph 2.** As of EW 39, the influenza proportion decreased and there were no RSV detections, as compared to prior weeks. / En la SE 39, la proporción de influenza disminuyó ligeramente y no se observaron detecciones de VSR, en relación a las semanas previas.
- Graph 3.** During EW 39, the percent positivity for influenza decreased from previous weeks and was below the alert threshold and the average epidemic curve. / Durante la SE 39, el porcentaje de positividad para influenza se reportó en descenso respecto a las semanas previas y se ubicó debajo del umbral de alerta y la curva epidémica promedio.
- Graph 4.** During EW 37, SARI percent positivity was lower than levels from 2011-2016 seasons for the same period. / Durante la SE 37, el porcentaje de positividad por IRAG fue bajo en relación a los niveles de las temporadas 2011-2016 para el mismo período.
- Graph 5.** During EW 36, pneumonia case counts decreased from recent weeks and was lower than levels from 2013-2016 seasons for the same period. / Durante la SE 36, el recuento de casos de neumonía descendió en relación a semanas recientes y fue menor a los niveles de temporadas 2013-2016 para el mismo período.

Graph 1. Ecuador: Influenza virus distribution by EW 39, 2014-17
Distribución de virus influenza por SE 39, 2014-17

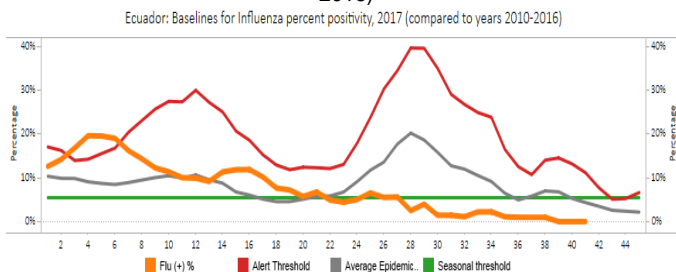


Graph 2. Ecuador: Influenza and RSV distribution, EW 39, 2014-17



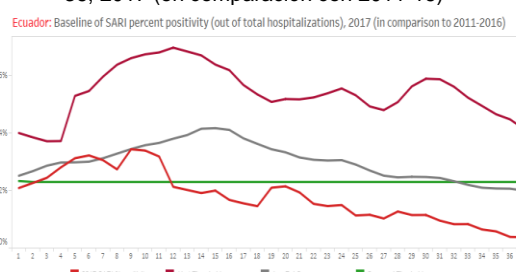
Graph 3. Ecuador: Percent positivity for influenza, 2017 (in comparison to 2010-2016)

Porcentaje de positividad de influenza, 2017 (en comparación a 2010-2016)

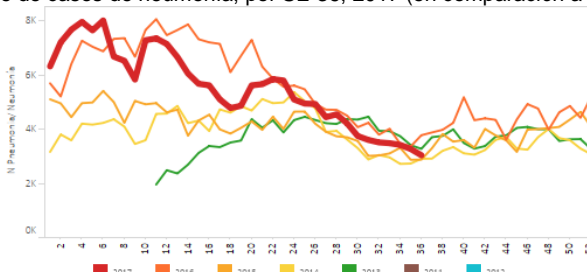


Graph 4. Ecuador: Percentage of SARI cases out of all hospitalizations, by EW 37, 2017 (in comparison with 2011-16)

Porcentaje de casos IRAG de todas las hospitalizaciones, por SE 36, 2017 (en comparación con 2011-16)



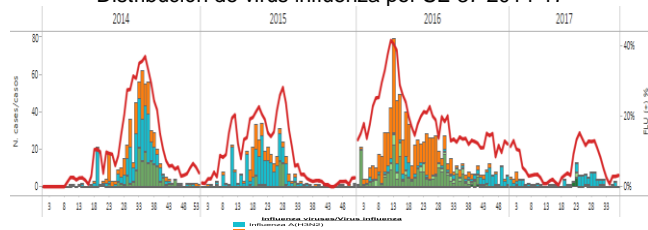
Graph 5. Ecuador: Percentage of pneumonia cases, by EW 36, 2017 (in comparison to 2010-2016)



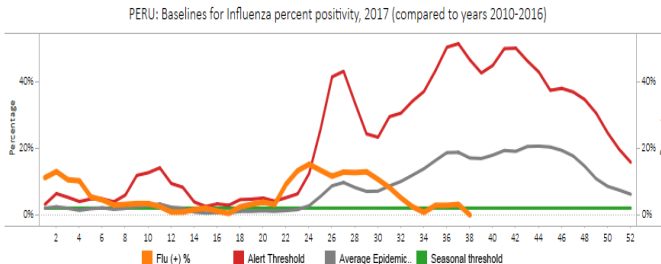
Peru

- Graph 1.** During EW 37, influenza A(H3N2) predominated, with positivity slightly increasing to less than 3.2% this week. / Durante la SE 37, influenza A(H3N2) predominó, con ligero aumento de la positividad a menos de 3,2% durante esta semana
- Graph 2.** As of EW 37, influenza positivity (3.2%) slightly increased and RSV decreased to 1%, as compared to prior weeks. Influenza and RSV counts were lower than levels observed during the 2015-16 season. / Durante la SE 37, la positividad de influenza (3,2%) aumentó ligeramente y la de VSR disminuyó a 1%, en comparación a semanas previas. Los recuentos de influenza y de VSR fueron menores a los niveles observados en la temporada 2015-2016.
- Graph 3.** During EW 37, the percent positivity for influenza slightly decreased from previous weeks and was below the alert threshold and the average epidemic curve. / Durante la SE 37, el porcentaje de positividad para influenza se reportó en ligero descenso respecto a las semanas previas y se ubicó debajo del umbral de alerta y la curva epidémica promedio.
- Graph 4.** During EW 35, SARI percent positivity was lower than levels from 2015-2016 seasons for the same period. / Durante la SE 35, el porcentaje de positividad por IRAG fue bajo en relación a los niveles de las temporadas 2015-2016 para el mismo período.
- Graph 5.** During EW 39, ARI activity among children under 5 years of age slightly decreased but remained within expected levels. / Durante la SE 39, la actividad de IRA entre los niños menores de 5 años disminuyó ligeramente pero se encontró dentro de lo esperado.
- Graph 6,7.** During EW 39, pneumonia cases slightly increased from the prior week and below the alert threshold with the highest rates in the Eastern (Madre de Dios) and Northern/Northwestern (Arequipa, Ucayali) regions for the year 2017. Ucayali reported the highest cumulative incidence rate at 180 cases (per 10,000 cases). During EW 39, three departments reported pneumonia cases above its specific alert threshold: Ayacucho, Madre de Dios and Tumbes. / Durante la SE 39, los casos de neumonía aumentaron ligeramente en relación a la semana previa y bajo del umbral de alerta con las tasas más altas en las regiones este (Madre de Dios) y norte/noroeste (Arequipa, Ucayali) para el año 2017. Ucayali ha reportado la tasa de incidencia acumulada más alta con 180 casos (por 10.000 casos). Durante la SE 39, tres departamentos reportaron casos de neumonía sobre su umbral de alerta específico: Ayacucho, Madre de Dios y Tumbes.
- Graph 8.** During EW 39, eleven departments reported pneumonia rates among children under 5 years of age to be higher than the pneumonia rates at national level (70.2 per 10,000 population): Amazonas, Arequipa, Callao, Huanuco, Lima, Loreto, Madre de Dios, Moquegua, Pasco, Tumbes and Ucayali. / Durante la SE 39, once departamentos reportaron tasas de neumonía en niños menores de 5 años mayores a la tasa de neumonía a nivel nacional (70,2 por 10.000 habitantes): Amazonas, Arequipa, Callau, Huanuco, Lima, Loreto, Madre de Dios, Moquegua, Pasco, Tumbes y Ucayali.

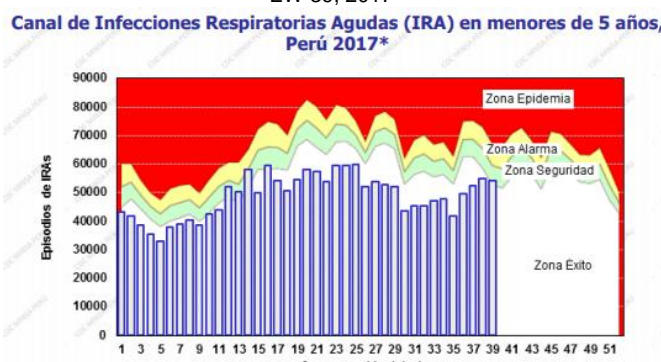
Graph 1. Peru: Influenza virus distribution by EW 37, 2014-17
Distribución de virus influenza por SE 37 2014-17



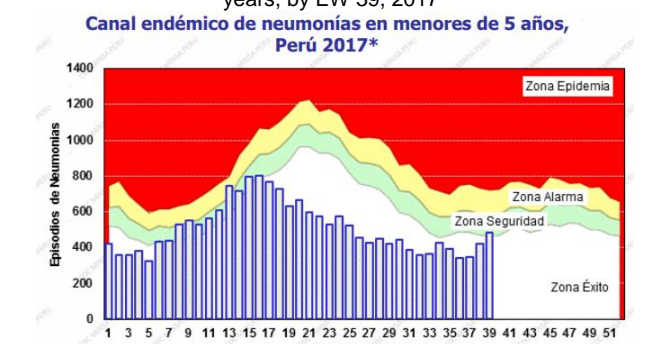
Graph 3. Perú: Percent positivity for influenza, 2017 (in comparison to 2010-2016)
Porcentaje de positividad de influenza, 2017 (en comparación a 2010-2016)



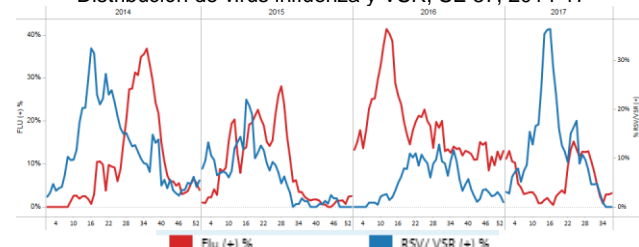
Graph 5. Peru. ARI endemic channel in children under 5 years, by EW 39, 2017



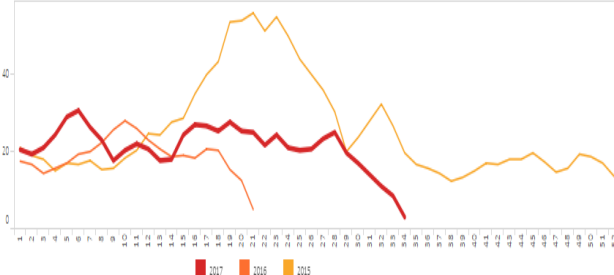
Graph 7. Peru: Pneumonia endemic channel in children under 5 years, by EW 39, 2017



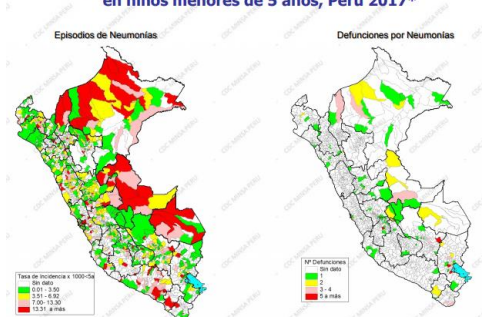
Graph 2. Peru: Influenza and RSV distribution, EW 37, 2014-17
Distribución de virus influenza y VSR, SE 37, 2014-17



Graph 4. Peru: Number of SARI cases out of all hospitalizations, by EW 35, 2017 (in comparison with 2015-16)
Número de casos IRAG de todas las hospitalizaciones, por SE 35, 2017 (en comparación con 2015-16)

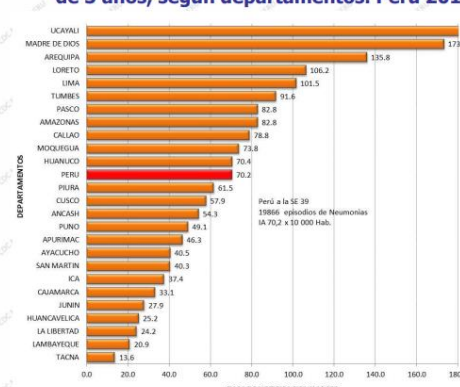


Graph 6 Peru: Map of pneumonia cases and deaths in children under 5 years, by EW 39, 2017
Mapa de Riesgo para neumonía y sus defunciones en niños menores de 5 años, Perú 2017*



Graph 8. Peru: Pneumonia cumulative incidence in children under 5 years, by department. EW 39

Incidencia acumulada de episodios por neumonía en menores de 5 años, según departamentos. Perú 2017*



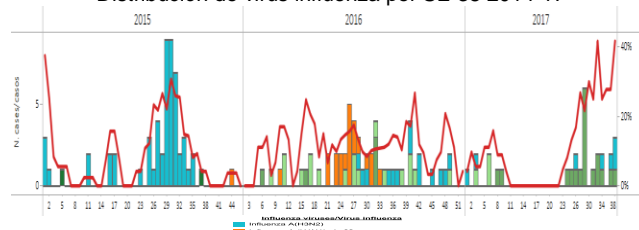
Venezuela

- Graph 1.** During EW 38, influenza A(H3N2) predominated, with positivity slightly increasing to 55% this week. / Durante la SE 38, influenza A(H3N2) predominó, con ligero aumento de la positividad a 55% durante esta semana.
- Graph 2.** As of EW 38, influenza positivity slightly increased and no RSV detections were reported, as compared to prior weeks. RSV counts were lower than levels observed during the 2015-16 season. / Durante

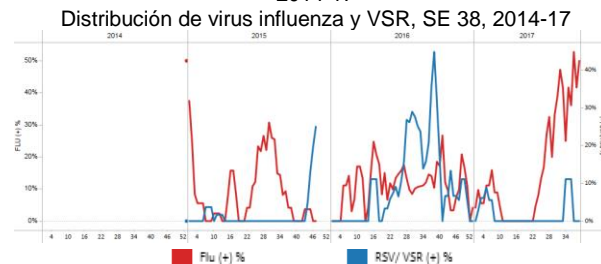
la SE 38 la positividad de influenza aumentó ligeramente y no se reportaron detecciones de VSR, en comparación a semanas previas. Los recuentos de VSR fueron menores a los niveles observados en la temporada 2015-2016.

- **Graph 3.** During EW 38, the percent positivity for influenza increased from previous weeks and was above the alert threshold and the average epidemic curve. / Durante la SE 38, el porcentaje de positividad para influenza aumentó respecto a las semanas previas y se ubicó por encima del umbral de alerta y la curva epidémica promedio.

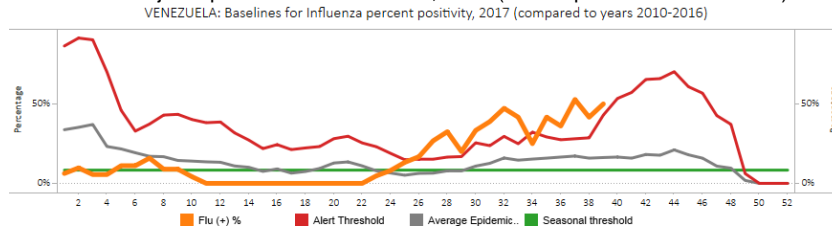
Graph 1. Venezuela: Influenza virus distribution by EW 38, 2014-17
Distribución de virus influenza por SE 38 2014-17



Graph 2. Venezuela: Influenza and RSV distribution, EW 38, 2014-17
Distribución de virus influenza y VSR, SE 38, 2014-17



Graph 5. Venezuela: Percent positivity for influenza, 2017 (in comparison to 2010-2016)
Porcentaje de positividad de influenza, 2017 (en comparación a 2010-2016)



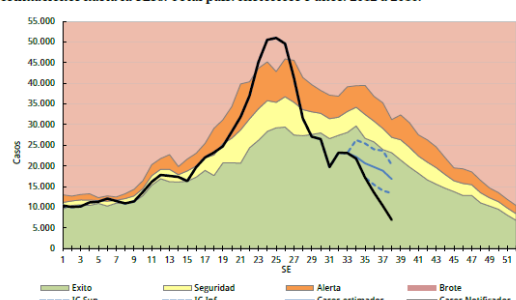
Argentina

- **Graph 1.** As of EW 38, estimated ILI activity decreased and remained within expected levels in the epidemic channel (security zone) as compared to previous years. During EW 38, all regions reported decreased ILI cases below its specific seasonal threshold, as compared to the 2012-2016 period⁶. / Durante la SE 38, la actividad estimada de ETI disminuyó y permaneció dentro de los niveles esperados del canal epidémico (zona de seguridad), en comparación a los años previos. Durante la SE 38, todas las regiones reportaron menos casos de ETI por debajo de su umbral estacional específico, en comparación con el período 2012-2016.
- **Graph 2.** As of EW 38 estimated SARI activity decreased from levels observed in previous weeks and was at the alert threshold. / Durante la SE 38, la actividad estimada de IRAG disminuyó en relación a los niveles observados en semanas previas y se ubicó en el umbral de alerta.
- **Graph 3.** As of EW 38, estimated pneumonia activity decreased from levels observed in previous weeks, and were at expected levels in the epidemic channel (security zone); most cases were among children under 5 years of age. During EW 38, all five regions reported lower pneumonia cumulative rates, as compared to the 2016-2017 season for the same period. / Durante la SE 38, la actividad estimada de neumonía disminuyó en relación a los niveles observados en semanas previas, y se ubicó dentro de los niveles esperados del corredor endémico (zona de seguridad); la mayoría de los casos se registraron en niños menores de 5 años. Durante la SE 38, todas las cinco regiones reportaron menores tasas acumuladas de neumonía, en comparación a las observadas en la temporada 2016-2017 para el mismo período.
- **Graph 4.** As of EW 38, estimated bronchiolitis activity among children under 2 years of age slightly decreased and remained within expected levels in the epidemic channel (security zone) as compared to previous years. All the five regions reported lower bronchiolitis cumulative rates, as compared to the 2016 season for the same period. / Durante la SE 38, la actividad estimada de bronquiolitis en niños menores de 2 años disminuyó ligeramente y permaneció dentro de los niveles esperados del canal endémico (zona de seguridad) en comparación a años previos. Todas las cinco regiones reportaron menores tasas acumuladas de bronquiolitis, en comparación a la temporada 2016-2017 para el mismo período.
- **Graph 5.** During EW 39, influenza activity continued to decrease, with 1.2% positivity; influenza A(H3N2) and B co-circulated. / Durante la SE 39, la actividad de influenza continuó en descenso, con 1,2% de positividad; co-circularon influenza A(H3N2) e influenza B.
- **Graph 6.** As of EW 39, influenza positivity slightly decreased and RSV positivity decreased and both were higher than levels reported in prior weeks and similar to the prior season. / Durante la SE 39, la positividad de influenza disminuyó ligeramente y la positividad de VSR disminuyó, y ambos fueron superiores a los niveles reportados en las semanas previas y similares a la temporada anterior.
- **Graph 7.** During EW 39, the percent positivity for influenza was below the alert threshold and the average epidemic curve. / Durante la SE 39, el porcentaje de positividad para influenza se ubicó debajo del umbral de alerta y la curva epidémica promedio.
- **Graph 8.** From EW 1 to EW 38, 2017, 97 influenza-associated deaths were reported in 15 provinces: Buenos Aires (29), Buenos Aires City (31), Córdoba (4), Entre Ríos (2), Santa Fe (9), Misiones (1), Salta (3), Santiago del Estero (1), Tucumán (1), Mendoza (1), Chubut (1), La Pampa (1), Neuquén (2), Rio Negro (10), and Santa Cruz (1). 66 cases were influenza A(H3N2) positive and 28 influenza A(unsubtyped), mostly among persons 50 years of age and older, 95% reported comorbidities and 61.45% without influenza vaccine history. Influenza-associated deaths during the 2017 season (n=97) were lower than levels observed during the 2016 season (n=283) for the same period. / Desde la SE1 a la SE 38 de 2017, se reportaron 97 muertes asociadas a influenza en 15 provincias: Buenos Aires (29), Buenos Aires City (31), Córdoba (4), Entre Ríos (2), Santa Fe (9), Misiones (1), Salta (3), Santiago del Estero (1), Tucumán (1), Mendoza (1), Chubut (1), La Pampa (1), Neuquén (2), Rio Negro (10) y Santa Cruz (1). 66 casos resultaron positivos para influenza A(H3N2) y 29 influenza A(sin subtipificar), en su mayoría en mayores de 50 años, 95% reportaron comorbilidades y 61,45% sin antecedente de vacunación antigripal. Las muertes asociadas a influenza durante la temporada 2017 (n=97) fueron menores que los niveles observados durante la temporada 2016 (n=283) para el mismo período.

⁶ Report available at: <http://www.msal.gob.ar/index.php/home/boletin-integrado-de-vigilancia>

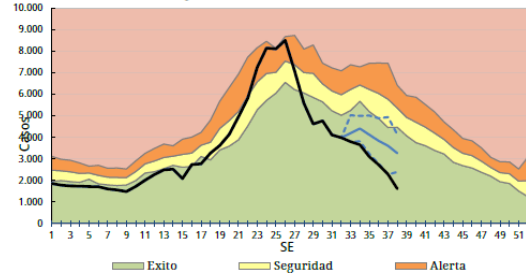
Graph 1. Argentina. ILI cases. Endemic channel, EW 38, 2017

Gráfico 1 - Argentina: Corredor endémico semanal de ETI 2017. Curva de casos y estimaciones hasta la SE38. Total país. Históricos 5 años: 2012 a 2016.

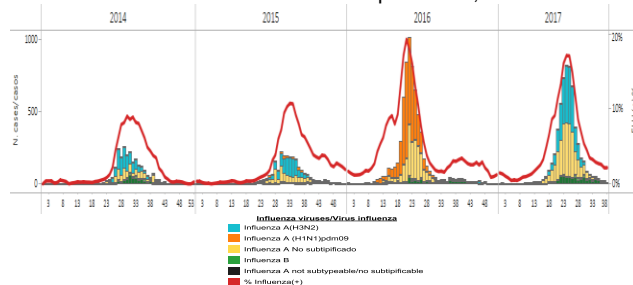


Graph 3. Argentina. Pneumonia cases. Endemic channel, EW 38, 2017

Gráfico 4. Argentina: Corredor endémico semanal de Neumonía 2017. Curva de casos y estimaciones hasta la SE38. Total país. Históricos 5 años: 2012 a 2016.



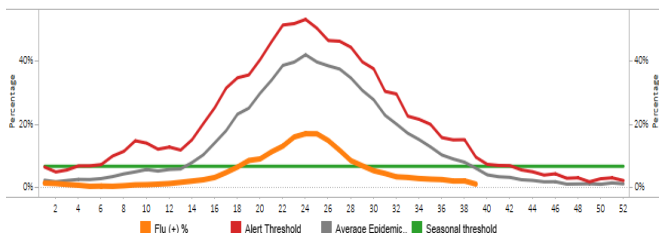
Graph 5. Argentina. Influenza virus distribution by EW 39, 2014-17 Distribución de virus influenza por SE 39, 2014-17



Graph 7. Argentina: Baseline for the percent positivity for influenza, 2017 (in comparison to 2010-2016)

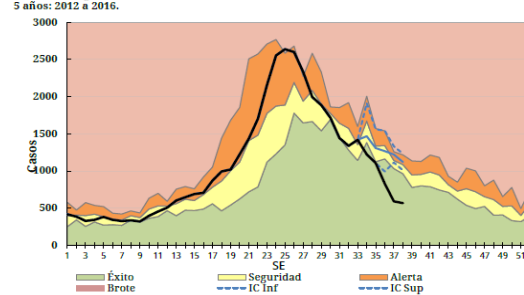
Línea basal para el porcentaje de positividad de influenza, 2017 (en comparación a 2010-2016)

Argentina: Baselines for Influenza percent positivity, 2017 (compared to years 2010-2016)



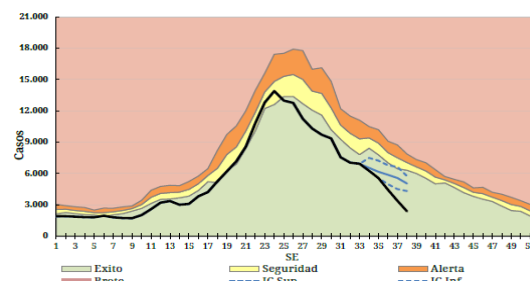
Graph 2. Argentina. SARI cases. Endemic channel, EW 38, 2017

Gráfico 7. Argentina: Corredor endémico semanal de IRAG. Curva de 2017 hasta SE38. Históricos 5 años: 2012 a 2016.

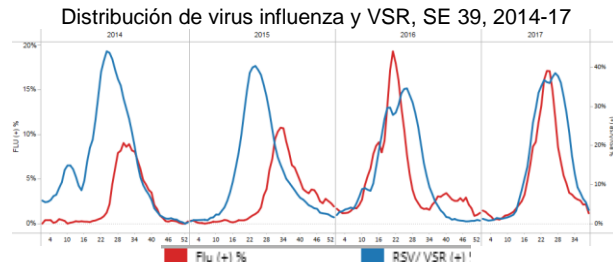


Graph 4. Argentina. Bronchiolitis cases. Endemic channel. EW 38, 2017

Gráfico 5. Argentina: Corredor endémico semanal de Bronquiolitis 2017. Curva de casos y estimaciones hasta la SE38. Total país. Históricos 5 años: 2012 a 2016.

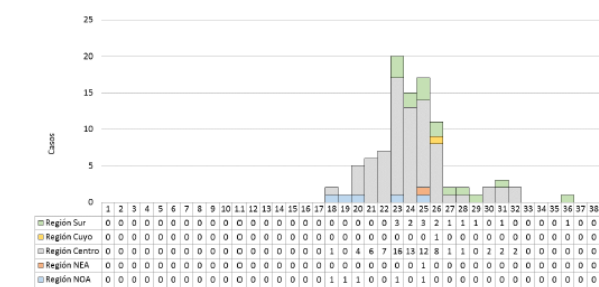


Graph 6. Argentina: Influenza and RSV distribution, EW 39, 2014-17 Distribución de virus influenza y VSR, SE 39, 2014-17



Graph 8. Argentina: Influenza-associated deaths by EW. EW 1 to EW 38, 2017. Muertes asociadas a influenza por SE. SE 1 a 38, 2017. (n=97)

Figura 9 - Casos fallecidos con diagnóstico de influenza por semana epidemiológica y región. De SE1 a 38 de 2017. Argentina (n=97)



Fuente: Elaboración propia del Área de Vigilancia de la Salud de la Dirección de Epidemiología en base a información proveniente del Sistema Nacional de Vigilancia de la Salud (SNVS) SIVILA – UCIRAG.

Brazil

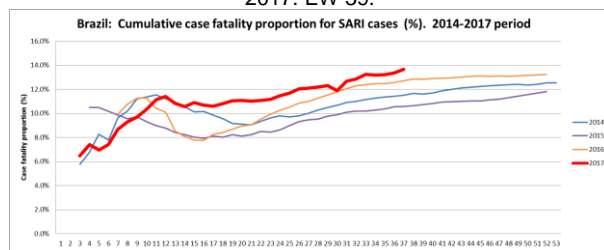
- Graph 1-3.** During EW 39, SARI hospitalizations slightly increased. The case fatality proportion among all SARI hospitalizations was 14.05% (2,620 SARI-related deaths/ 18,652 SARI-related hospitalizations), which was higher than the levels reported in previous seasons for the same period. Overall, 79.5% (n=333) of deaths were reported to have underlying risk-factors, and the median of age was 62 years. Most SARI cases were reported in the southwest region of Brazil, most highly concentrated in São Paulo (Southeast region) with 4906 cumulative SARI cases and 735 SARI deaths. / Durante la SE 38, las hospitalizaciones asociadas a IRAG aumentaron ligeramente. La proporción de casos fallecidos entre las hospitalizaciones por IRAG fue 14,05% (2.620 muertes asociadas a IRAG/ 18.652 hospitalizaciones por IRAG) que son superiores a los

niveles observados en temporadas anteriores para el mismo período. En general, 79,5% (n=333) de todos los fallecidos presentaban factores de riesgo, y la mediana de edad fue 62 años. La mayoría de los casos asociados a IRAG han sido reportados en la región suroeste de Brasil, principalmente provenientes de Sao Paulo (región sudeste), con 4906 casos de IRAG acumulados y 735 fallecidos por IRAG.

- **Graph 4.5.** The cumulative number of SARI cases (18,652) and deaths (2,620) as of EW 39 was reported to be above the levels in 2015 and lower than 2016. / Los casos (18.652) y fallecidos (2.620) acumulados asociados a IRAG hasta la SE 39 han sido por encima de los niveles notificados en 2015 y menores a los de 2016.
- **Graph 6.7.** The cumulative number of influenza-positive SARI cases and deaths as of EW 39 was reported to be slightly higher than the levels in 2014-2015, but lower than 2016. / Los casos y fallecidos acumulados asociados a IRAG positivos para influenza hasta la SE 39 se han reportado ligeramente superiores a los niveles observados en 2014-2015, pero menores que en 2016.
- **Cumulative SARI Cases (Flu+):** During EW 39, three states reported higher cumulative influenza-positive SARI cases than the 2016 season: Amazonas (4), Pernambuco (15), and Tocantins (1). / Casos acumulados de IRAG (flu+): Durante la SE 39, tres estados reportaron casos acumulados de IRAG positivos para influenza mayores a los observados en la temporada 2015-2016: Amazonas (4), Pernambuco (15), y Tocantins (1).
- **Cumulative SARI Deaths (Flu+):** During EW 39, 2017, two states reported higher cumulative influenza-positive SARI deaths than the 2016 season: Piauí (1) and Tocantins (1). / Fallecidos acumulados de IRAG (flu+): Durante la SE 39, 2017, dos estados reportaron mayor número de muertes por IRAG positivas para influenza acumuladas que en la temporada 2015-2016: Piauí (1) y Tocantins (1).
- **Graph 8.** During EW 39, influenza activity remained at 15% positivity and influenza B predominated. / Durante la SE 39, la actividad de influenza permaneció en 15% de positividad y predominio de influenza B.
- **Graph 9.** As of EW 39, influenza positivity remained at similar levels from previous weeks and RSV positivity among ILI cases decreased, as compared to levels from the previous weeks. / Durante la SE 39, la positividad de influenza permaneció a niveles similares de semanas previas y la positividad de VSR entre los casos de ETI disminuyó, en relación a los niveles de las semanas anteriores.
- **Graph 10.** As of EW 39, ILI case counts decreased, as compared to previous weeks, and to levels observed in the prior season for the same period. / Durante la SE 39, el recuento de casos de ETI disminuyó, en comparación a las semanas previas, y a los niveles observados en la temporada previa para el mismo período.

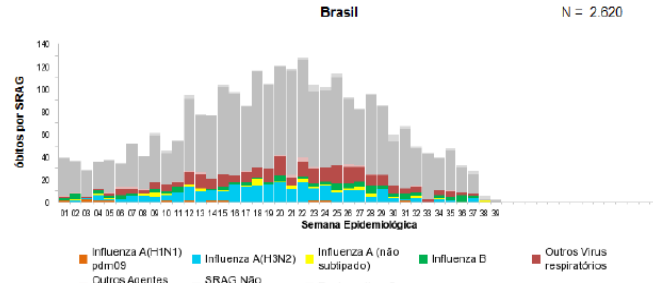
Graph 1. Brazil. Cumulative case fatality proportion for SARI cases (%) by EW. 2014-2017 period. EW 39.

Proporción de casos fatales de IRAG acumulados (%). Período 2014-2017. EW 39.



Graph 3. Brazil. SARI-related deaths, by EW 39, 2017

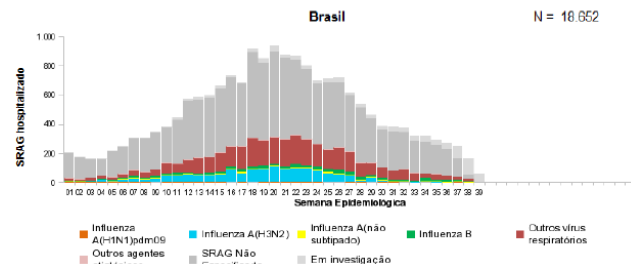
Distribución de fallecidos por IRAG, por SE 39, 2017



Fonte: SINAN Influenza Web. Dados atualizados em 2/10/2017, sujeitos a alteração.

Graph 2. Brazil. SARI-related hospitalizations, by EW 39, 2017

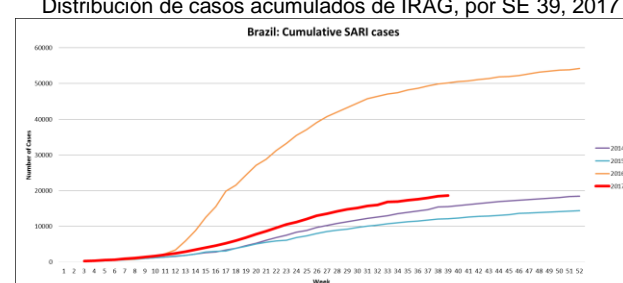
Hospitalizaciones asociadas con IRAG, por SE 39, 2017



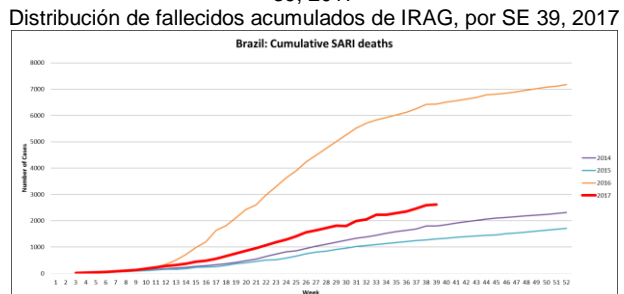
Fonte: SINAN Influenza Web. Dados atualizados em 2/10/2017, sujeitos a alteração.

Graph 4. Brazil. Distribution of cumulative SARI-related cases, by EW 39 2017

Distribución de casos acumulados de IRAG, por SE 39, 2017

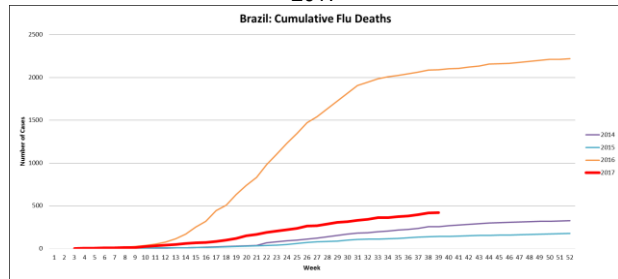


Graph 5. Brazil. Distribution of cumulative SARI-related deaths, by EW 39, 2017



Graph 7. Brazil. Distribution of cumulative flu(+) SARI-related deaths, by EW 39, 2017

Distribución de flu (+) fallecidos acumulados de IRAG, por SE 39, 2017



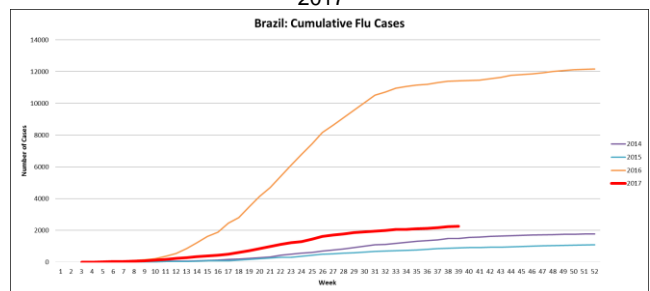
Graph 9. Brazil- ILI: Influenza and RSV distribution, EW 39, 2017

Distribución de virus influenza y VSR, SE 39, 2017



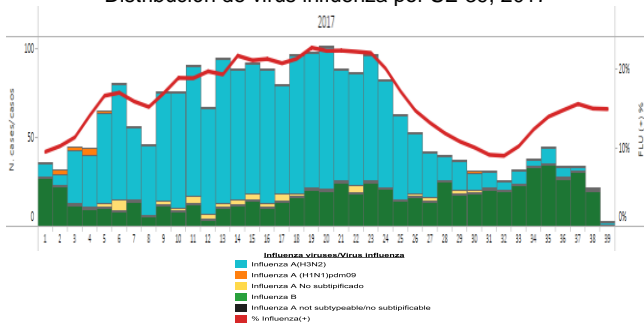
Graph 6. Brazil. Distribution of cumulative flu(+) SARI-related cases, by EW 39, 2017

Distribución de flu(+) casos acumulados de IRAG, por SE 39, 2017



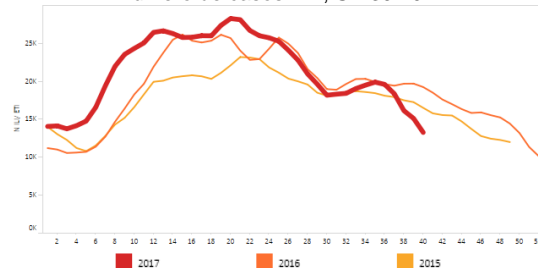
Graph 8. Brazil- ILI. Influenza virus distribution by EW 39, 2017

Distribución de virus influenza por SE 39, 2017



Graph 10. Brazil- Number of ILI cases, EW 39, 2017

Número de casos ETI, SE 39 2017

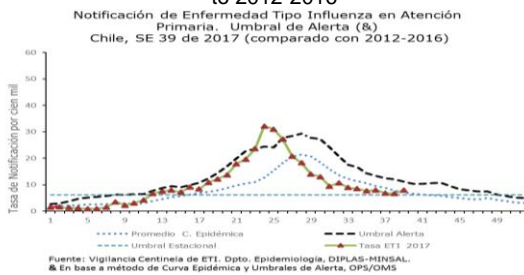


Chile

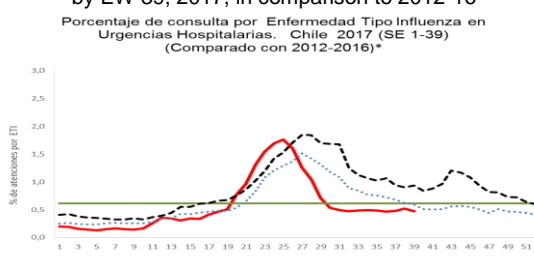
- Graph 1.** During EW 39, ILI activity slightly increased below the alert threshold and at the average epidemic curve. / Durante la SE 39, la actividad de ETI aumentó ligeramente por debajo del umbral de alerta y en la curva epidémica promedio.
- Graph 2.** During EW 39, the proportion of SARI cases among all hospitalizations decreased from the prior week/ Durante la SE 39, la proporción de casos de IRAG sobre el total de hospitalizaciones disminuyó en relación a la semana previa
- Graph 3.** During EW 39, the percentage of hospital emergency visits for pneumonia slightly decreased below the season threshold and was lower than levels observed in previous weeks. / Durante la SE 39, el porcentaje de consultas de urgencia hospitalaria por neumonía disminuyó ligeramente por debajo del umbral estacional y fue menor a los niveles observados en semanas previas.
- Graph 4.** During EW 39, influenza detections slightly increased from the previous week with 5.7% positivity reported, with influenza A(H3N2) and B co-circulating. / Durante la SE 39, las detecciones de influenza aumentaron ligeramente de la semana previa con 5,7% de positividad reportada, con co-circulación de influenza A(H3N2) y B.
- Graph 5.** During EW 39, the percent positivity for influenza slightly increased from previous weeks and was below the alert threshold and the average epidemic curve. / Durante la SE 39, el porcentaje de positividad para influenza se reportó en ligero aumento respecto a las semanas previas y se ubicó debajo del umbral de alerta y la curva epidémica promedio.
- Graph 6,7** During EW 39, influenza proportion slightly increased (5.7%) and RSV activity remained moderate with increased positivity of 13%. / Durante la SE 39, la proporción de influenza aumentó ligeramente (5,7%) y la actividad de VSR se mantiene moderada con aumentada positividad de 13%.

- Graph 8.** During EW 39, the number of ILI cases slightly increased from levels observed in previous weeks and was lower than the previous season for the same period. / Durante la SE 39, el número de casos de ETI aumentó ligeramente en relación a los niveles observados en semanas previas y fue menor a la temporada anterior para el mismo período.

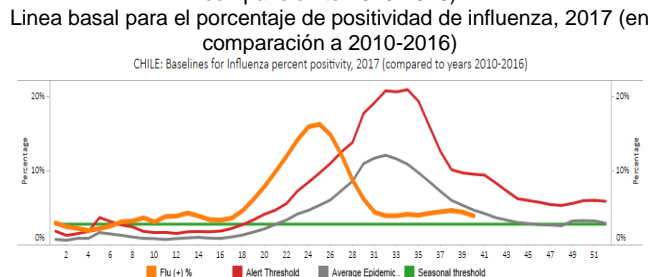
Graph 1. Chile. ILI rate, Alert threshold by EW 39, 2017; in comparison to 2012-2016



Graph 3. Chile. Percentage of hospital emergency visits for pneumonia, by EW 39, 2017, in comparison to 2012-16

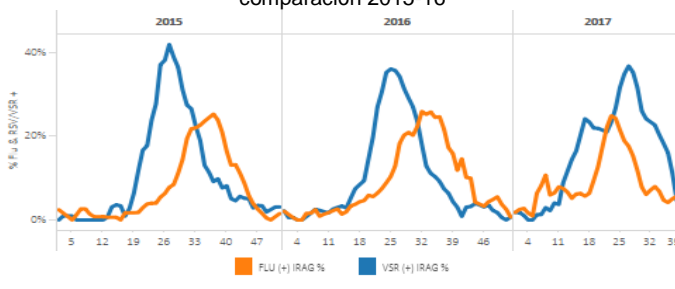


Graph 5. Chile: Baseline for the percent positivity for influenza, 2017 (in comparison to 2010-2016)

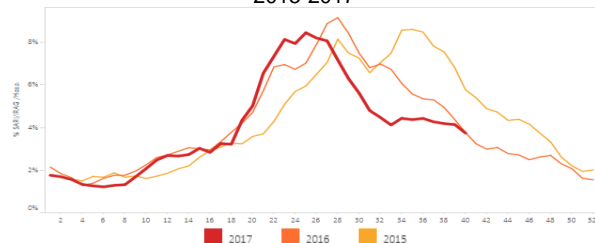


Graph 7. Chile. SARI cases with samples positive for influenza and RSV, EW 39 2017 in comparison 2015-16

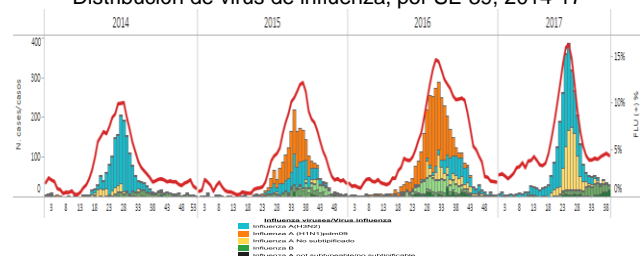
Casos IRAG con muestras positivas por influenza y VSR, SE 39 2017, en comparación 2015-16



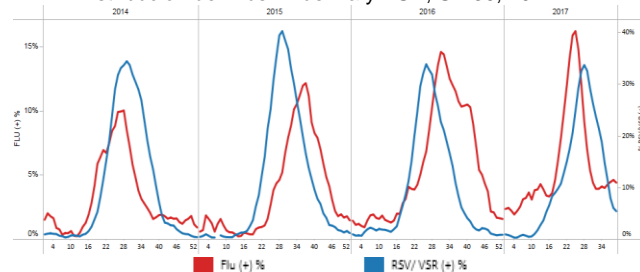
Graph 2. Chile. Percent of SARI cases from all hospitalizations, EW 40, 2015-2017, Porcentaje de casos IRAG por las hospitalizaciones totales, SE 40, 2015-2017



Graph 4. Chile: Influenza virus distribution by EW 39, 2014-17

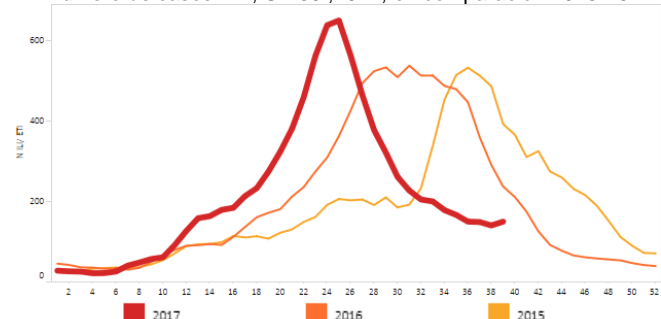


Graph 6. Chile: Influenza and RSV distribution, EW 39, 2014-17



Graph 8. Chile. Number of ILI cases, EW 39, 2017 in comparison 2015-16

Número de casos ETI, SE 39, 2017, en comparación 2015-16



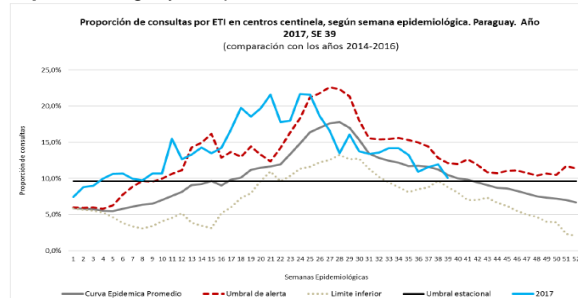
Paraguay

- Graph 1.** During EW 39, ILI activity slightly decreased to 10.1% as compared to the prior week and was below the alert threshold and above the average epidemic curve. / Durante la SE 39, la actividad de ETI disminuyó ligeramente a 10,1%, en comparación con la semana previa y se ubicó por debajo del umbral de alerta y sobre la curva epidémica promedio.
- Graph 2, 3.** During EW 39, SARI activity slightly decreased below the alert threshold with the percent of SARI cases among all hospitalizations lower than prior weeks. / Durante la SE 39, la actividad de IRAG disminuyó

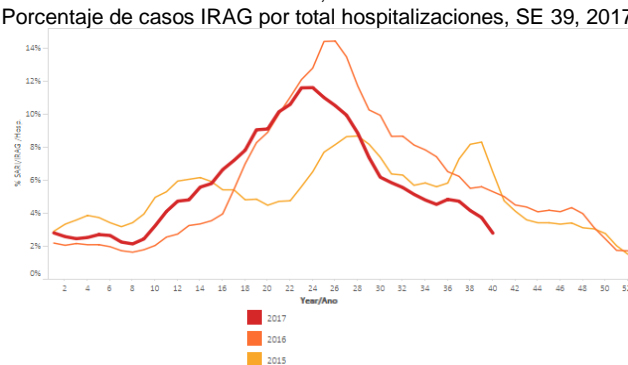
ligeramente por debajo del umbral de alerta con el porcentaje de casos de IRAG sobre el total de hospitalizaciones a niveles menores que en las semanas previas.

- **Graph 4.** During EW 38, the number of pneumonia cases slightly decreased from previous weeks and remained at similar levels reported during 2016 for the same period. / Durante la SE 38, el número de casos de neumonía disminuyó ligeramente en relación a las semanas previas y permaneció a niveles similares reportados durante el mismo período de 2016.
- **Graph 5.** During EW 39, the number of ARI cases slightly decreased from previous weeks and remained at similar levels reported during 2016 for the same period. / Durante la SE 39, el número de casos de neumonía disminuyó ligeramente en relación a las semanas previas y permaneció a niveles similares reportados durante el mismo período de 2016.
- **Graph 6,7.** During EW 39, RSV case-counts remained at low levels. Influenza activity slightly increased in EW 39, with 1.6% positivity and influenza A(H3N2) and B co-circulating. The number of influenza positive samples was slightly lower than levels observed during 2016. / Durante la SE 39, los casos de VSR asociados con IRAG permanecieron a niveles bajos. La actividad de influenza aumentó ligeramente en SE 39, con 1,6% de positividad y co-circulación de influenza A(H3N2) y B. El número de muestras positivas de influenza fue ligeramente menor que los niveles observados durante 2016.

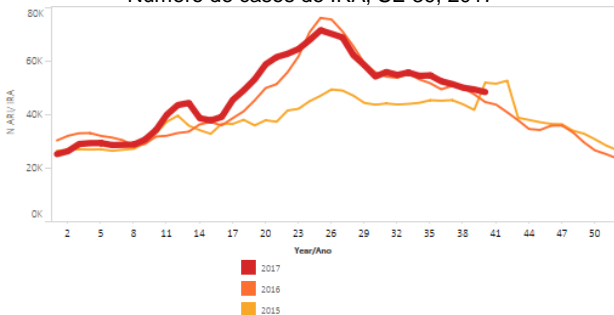
Graph 1. Paraguay: Proportion of ILI consultations, EW 39, 2017



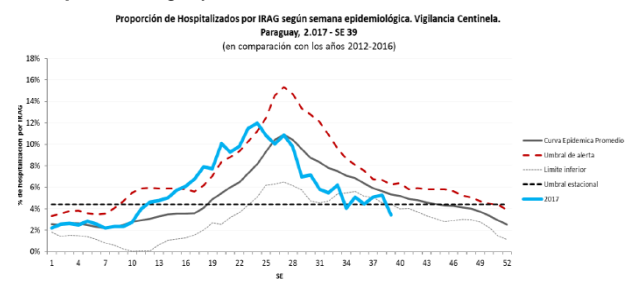
Graph 3. Paraguay: Percent of SARI cases per total hospitalizations, EW 39, 2017
Porcentaje de casos IRAG por total hospitalizaciones, SE 39, 2017



Graph 5. Paraguay: Number of cases for ARI, EW 39, 2017
Número de casos de IRA, SE 39, 2017



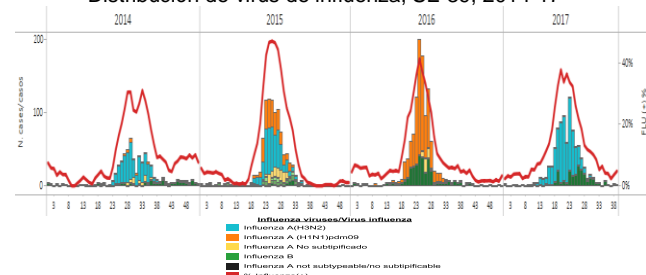
Graph 2. Paraguay: Distribution of SARI cases EW 39, 2017



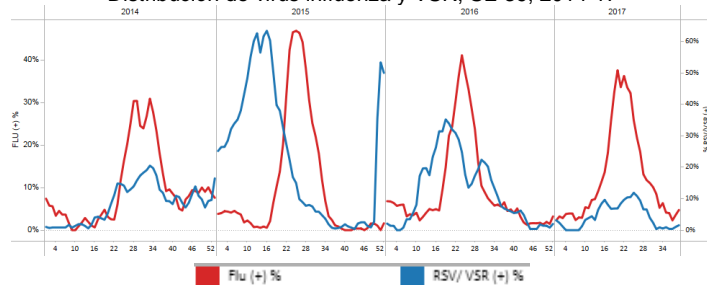
Graph 4. Paraguay: Number of cases of pneumonia, EW 38, 2017
Número de casos de neumonía, SE 38, 2017



Graph 6. Paraguay: Influenza virus distribution EW 39, 2014-17
Distribución de virus de influenza, SE 39, 2014-17

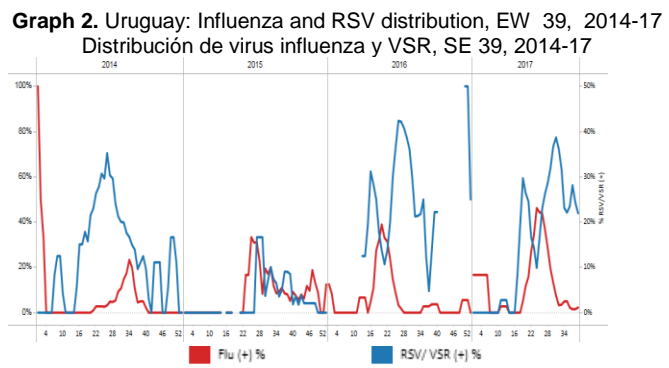
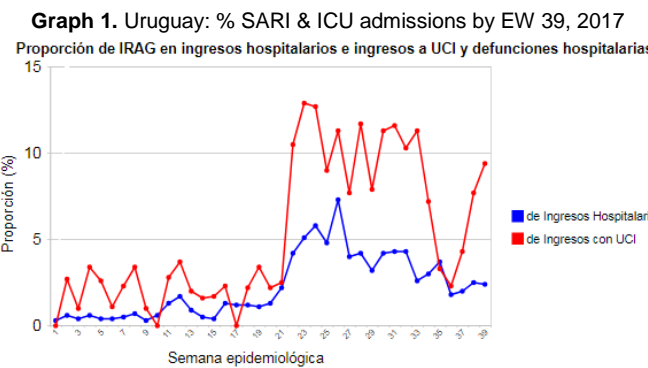


Graph 7. Paraguay: Influenza and RSV distribution, EW 39, 2014-17
Distribución de virus influenza y VSR, SE 39, 2014-17



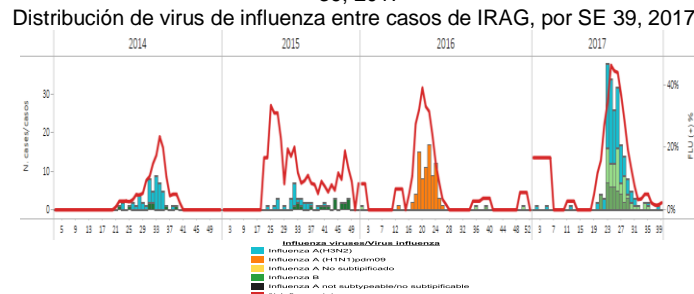
Uruguay

- Graph 1.** As of EW 39, the proportion of SARI-related ICU admissions and SARI-related hospitalizations slightly increased from levels observed in previous weeks and were mainly among children under 5 years of age⁷. Overall, from EW 1 to EW 39, 25% of SARI hospitalizations (n=294) and 40.63% of SARI-related UCI admissions (n=102) had underlying comorbidities. / Hasta la SE 39, la proporción de ingresos a UCI asociados a IRAG y las hospitalizaciones por IRAG aumentaron ligeramente respecto a los niveles observados en semanas previas y se reportaron principalmente en niños menores de 5 años. En general, desde la SE 1 hasta la SE 39, 25% de las hospitalizaciones por IRAG (n=294) y 40,63% de las admisiones a UCI por IRAG (n=102) presentaron comorbilidades asociadas.
- Graph 2.** There was slightly increased activity of RSV but remained moderate as of EW 39, with 40.7% positivity; and influenza detections slightly decreased to less than 1.2% positivity. / Se observó un ligero aumento de la actividad de VSR pero se mantiene moderada a la SE 39, con 40,7% de positividad; y las detecciones de influenza disminuyeron ligeramente a menos de 1,2% de positividad.
- Graph 3.** During EW 39, there was slightly decreased influenza activity among SARI cases as compared to previous weeks, with influenza A(H3N2) predominating. / Durante la SE 39, se registró una actividad de influenza entre los casos de IRAG ligeramente menor a la observada en las semanas previas, con predominio de influenza A(H3N2).
- Graph 4.** During EW 39, the percent positivity for influenza slightly decreased from previous weeks and was below the alert threshold and the average epidemic curve. / Durante la SE 39, el porcentaje de positividad para influenza se reportó en ligero descenso respecto a las semanas previas y se ubicó debajo del umbral de alerta y la curva epidémica promedio.
- Graph 5.** During EW 29, the percentage of SARI cases decreased from levels observed in previous weeks. / Durante la SE 29, el porcentaje de casos de IRAG disminuyó en relación a los niveles observados en semanas previas.



⁷ Data available at: <http://colo1.msp.gub.uy/epidemiologia/servlet/iragrafmenu>

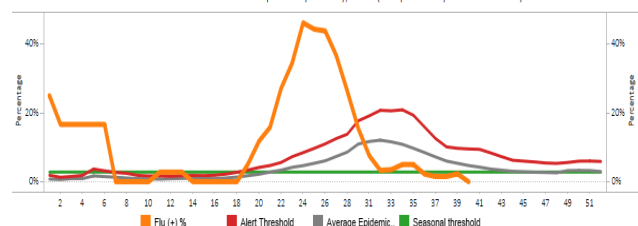
Graph 3. Uruguay: Influenza virus distribution among SARI cases by EW 39, 2017



Graph 4. Uruguay: Percent positivity for influenza, 2017 (in comparision to 2010-2016)

Porcentaje de positividad de influenza, 2017 (en comparación a 2010-2016)

CHILE: Baseline for Influenza percent positivity, 2017 (compared to years 2010-2016)



Graph 5. Uruguay: Percent of SARI cases per total hospitalizations, EW 29, 2017
Porcentaje de casos IRAG por total hospitalizaciones, SE 29, 2017



This report summarizes⁸ the epidemiological and virological features of the laboratory-confirmed human cases of infection with influenza viruses of animal origin from 25 July to 27 September 2017. / Este reporte resume las características epidemiológicas y virológicas de los casos humanos de infección por virus influenza de origen animal confirmados por laboratorio desde 25 de Julio hasta 27 de Septiembre de 2017.

- New human infections with influenza A(H5N1), A(H7N9), A(H9N2), A(H1N2)v and A(H3N2) variant⁹ viruses were reported. / Fueron reportadas nuevas infecciones en humanos con influenza A(H5N1), A(H7N9), A(H1N2)v, y A(H3N2)v virus variante.
- **Risk assessment:** The overall public health risk from currently known influenza viruses at the human-animal interface has not changed, and the likelihood of sustained human-to-human transmission of these viruses remains low. Further human infections with viruses of animal origin are expected. / **Evaluación de Riesgo:** El riesgo para la salud pública en general para los virus influenza actualmente conocidos en la interfase humano-animal no ha cambiado, y la probabilidad de transmisión sostenida de humano a humano de estos virus permanece baja. Se esperan nuevos casos de infecciones en humanos con virus de origen animal.
- **Risk management:** Selection of new candidate vaccine viruses (CVVs) for zoonotic influenza for influenza pandemic preparedness purposes was done during a recent WHO consultation. / **Manejo del Riesgo:** FSe seleccionaron nuevos virus candidatos de la vacuna (VCV) para influenza zoonótica con el propósito de preparación ante influenza pandémica durante una reunión reciente de OMS.
- **IHR compliance:** All human infections caused by a new influenza subtype are required to be reported under the International Health Regulations (IHR, 2005)¹⁰. This includes any animal and non-circulating seasonal influenza viruses. Information from these notifications is critical to inform risk assessments for influenza at the human-animal interface. / **Cumplimiento de RSI:** Todas las infecciones en humanos causadas por un Nuevo subtipo de influenza deben ser reportados bajo el Reglamento Sanitario Internacional (RSI, 2005). Esto incluye cualquier virus influenza animal o no circulante estacional. El reporte de estas notificaciones es crítico para informar evaluaciones de riesgo de influenza en la interfase humano-animal.

Avian Influenza Viruses / Virus de influenza aviar

Avian influenza A(H5N1) viruses / Virus influenza aviar A(H5N1)

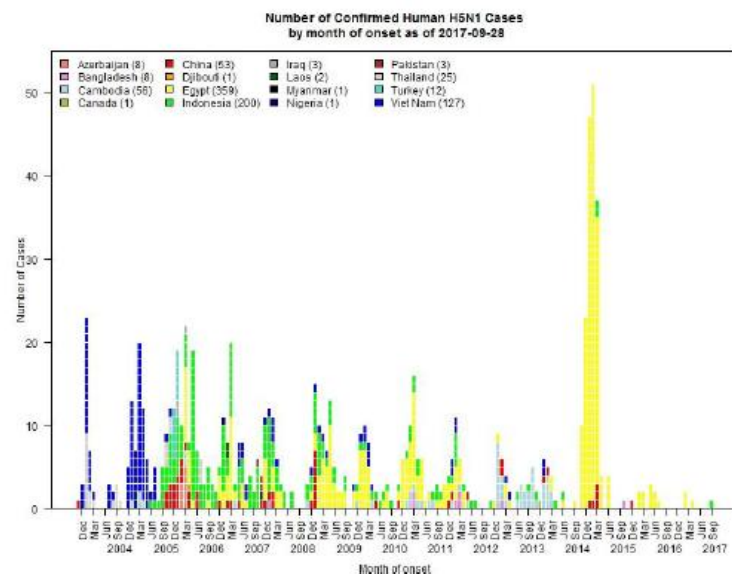
Since 25 July 2017, one new laboratory-confirmed cases of human infection with avian influenza A(H5N1) virus have been reported to WHO from Indonesia. The patient was a child who had illness onset on 1 September 2017 and passed away on 10 September, with exposure to poultry at his house. Influenza A(H5N1) was detected in infected birds in the area and samples collected from all human contacts of the patient tested negative for A(H5N1) virus. Since 2003, a total of 860 laboratory-confirmed cases of human infection with avian influenza A(H5N1) virus have been reported to WHO from 16 countries, including 454 deaths. / Desde el 25 de julio de 2017, se han notificado nuevos casos confirmados por laboratorio de infección humana por influenza aviar A(H5N1) a la OMS procedente de Indonesia. El paciente era un niño que tuvo el inicio de la enfermedad el 1 de septiembre de 2017 y falleció el 10 de septiembre, con exposición a aves de corral en su casa. Se detectó influenza A(H5N1) en las aves infectadas en el área y las muestras recogidas de todos los contactos humanos del paciente dieron negativo para el virus A(H5N1). Desde 2003, un total de 860 casos confirmados por laboratorio de infección humana por influenza aviar A(H5N1) han sido reportados a la OMS de 16 países, incluyendo 454 muertes.

⁸ For epidemiological and virological features of human infections with animal influenza viruses not reported in this assessment, see the yearly report on human cases of influenza at the human-animal interface published in the Weekly Epidemiological Record. www.who.int/wer/en/

⁹ World Health Organization. Standardization of terminology for the influenza virus variants infecting humans: Update. Available at: www.who.int/influenza/gisrs_laboratory/terminology_variant/en/

¹⁰ World Health Organization. Case definitions for the four diseases requiring notification in all circumstances under the International Health Regulations (2005). Available at: www.who.int/ihr/Case_Definitions.pdf

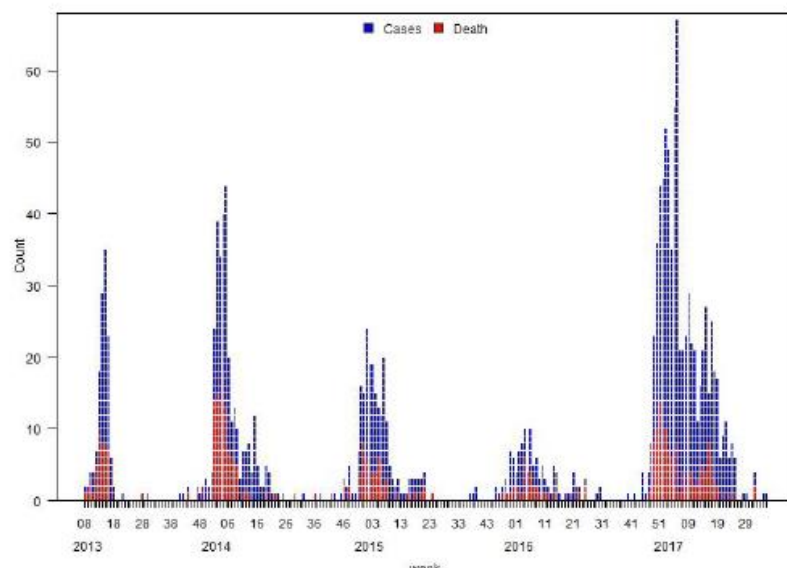
Figure 1: Epidemiological curve of avian influenza A(H5N1) cases in humans by week of onset, 2004-2017.
 / Figura 1: Curva epidemiológica de casos de influenza aviar A(H5N1) en humanos por semana de inicio, 2004-2017.



Avian influenza A(H7N9) viruses / Virus influenza aviar A(H7N9)

Since 25 July 2017, 7 laboratory-confirmed human cases of influenza A(H7N9) virus infection were reported from China. From March 2013 to 27 September 2017, 1564 laboratory-confirmed human cases of influenza A(H7N9) virus infection, including 612 deaths were reported to WHO. The number of human infections with avian influenza A(H7N9) viruses and the geographical distribution of human cases in the fifth epidemic wave (i.e. onset since 1 October 2016) have been greater than in any earlier wave. This suggests that the virus has spread, and further intensive surveillance and control measures in both the human and animal health sectors should be emphasized. A decrease in cases occurred during the past few months. / Desde el 25 de julio de 2017, 7 casos humanos confirmados por laboratorio de virus de la influenza A(H7N9) fueron notificados en China. Desde marzo de 2013 al 27 de septiembre de 2017, 1564 casos humanos confirmados por laboratorio de infección por virus influenza A(H7N9), incluyendo 612 muertes fueron reportados a la OMS. El número de infecciones humanas por virus de la influenza aviar A(H7N9) y la distribución geográfica de los casos humanos en la quinta ola epidémica (es decir desde el 1 de octubre de 2016) han sido mayores que en cualquier ola anterior. Esto sugiere que el virus se ha propagado y se requiere enfatizar en vigilancia intensificada y medidas de control tanto en los sectores de la salud humana como animal. Durante los últimos meses se observó una disminución en el número de casos.

Figure 2: Epidemiological curve of avian influenza A(H7N9) cases in humans by week of onset, 2013-2017. / Figura 2: Curva epidemiológica de casos de influenza aviar A(H7N9) en humanos por semana de inicio, 2013-2017.



Avian influenza A(H9N2) viruses / Virus influenza aviar A(H9N2)

Since 25 July 2017, one laboratory-confirmed human cases of A(H9N2) virus infection was reported from China. The outpatient was a child with illness onset of 18 September and no apparent exposure history to live poultry. / Desde el 25 de julio de 2017, un caso humano confirmado por laboratorio de virus A (H9N2) fue comunicado en China. El paciente ambulatorio era un niño con inicio de síntomas el 18 de septiembre y sin exposición a aves de corral vivas.

Swine Influenza Viruses / Virus de influenza porcina

Avian influenza A(H1N2)v viruses / Virus influenza aviar A(H1N2)v

Since 25 July 2017, 2 human infections with influenza A(H1N2)v virus were detected in the state of Ohio (U.S.). Both ambulatory cases occurred in children who reported contact with swine at an agricultural event prior to illness. No human-to-human transmission was identified. Characterization of the viruses from the cases indicates they are similar to A(H1N2) viruses currently circulating in swine in the U.S. Given that the viruses reacted poorly with current candidate vaccine viruses, new candidate virus for pandemic preparedness have been proposed. Since 2005, 11 cases of A(H1N2)v influenza vírus were reported from U.S.,most of them associated with mild illness. / Desde el 25 de julio de 2017, se detectaron 2 infecciones humanas con virus de influenza A(H1N2)v en el estado de Ohio (EE.UU.). Ambos casos ambulatorios ocurrieron en niños que reportaron contacto con cerdos en un evento agrícola previo a la enfermedad. No se identificó ninguna transmisión de humano a humano. La caracterización de los virus indica que son similares a los vírus A(H1N2) actualmente circulantes en cerdos en los EE.UU. Dado que los virus reaccionaron levemente con los actuales virus candidatos de la vacuna, se han propuesto nuevos virus candidatos para la preparación para una pandemia. Desde 2005, se reportaron 11 casos de virus influenza A(H1N2)v en EE.UU., la mayoría de ellos asociados con enfermedad leve.

Avian influenza A(H3N2)v viruses / Virus influenza aviar A(H3N2)v

Since 25 July 2017, 19 human infections with influenza A(H3N2)v viruses were detected in the U.S. in several states. All cases reported exposure to swine at an agricultural fair before illness onset. Two cases were hospitalized. No human-to-human transmission was identified. Characterization of the viruses from the cases indicates they are similar to A(H3N2) viruses currently circulating in swine in the U.S. Given that the viruses reacted poorly with current candidate vaccine viruses, a new candidate virus for pandemic preparedness has been proposed. Since 2005, 403 laboratory-confirmed cases of human infection with influenza A(H3N2)v virus have been reported to WHO from the U.S., and 31 occurred in 2017. / Desde el 25 de julio de 2017, se detectaron 19 infecciones humanas por virus de influenza A(H3N2)v en los Estados Unidos en varios estados. Todos los casos reportaron exposición a cerdos en un evento agrícola antes del inicio de síntomas. Dos casos fueron hospitalizados. No se identificó ninguna transmisión de humano a humano. La caracterización de los virus indica que son similares a los virus A(H3N2)v actualmente circulantes en cerdos en los EE.UU. Dado que los virus reaccionaron levemente con los actuales virus vacunales candidatos, se han propuesto nuevos vírus candidatos para la preparación para una pandemia. Desde 2005, se han notificado a la OMS 403 casos confirmados por laboratorio de infección humana por el virus de la influenza A (H3N2) v de los Estados Unidos y 31 ocurridos en 2017.

ACRONYMS

ARI	Acute Respiratory Infection
CARPHA	Caribbean Public Health Agency
CENETROP	Centro de Enfermedades Tropicales (Santa Cruz, Bolivia)
EW	Epidemiological Week
ILI	Influenza-like illness
INLASA	Instituto Nacional de Laboratorios de Salud (La Paz, Bolivia)
INS	Instituto Nacional de Salud
ORV	Other respiratory viruses
SARI	Severe acute respiratory infection
SEDES	Servicio Departamental de Salud (Bolivia)
ICU	Intensive Care Unit
RSV	Respiratory Syncytial Virus

ACRÓNIMOS

CARPHA	Agencia de Salud Pública del Caribe/Caribbean Public Health Agency
CENETROP	Centro de Enfermedades Tropicales (Santa Cruz, Bolivia)
ETI	Enfermedad Tipo influenza
INLASA	Instituto Nacional de Laboratorios de Salud (La Paz, Bolivia)
INS	Instituto Nacional de Salud
IRA	Infección Respiratoria Aguda
IRAG	Infección Respiratoria Aguda grave
OVR	Otros virus respiratorios
SE	Semana epidemiológica
SEDES	Servicio Departamental de Salud (Bolivia)
UCI	Unidad de Cuidados Intensivos
VSR	Virus Sincitial Respiratorio